

สำนักหอสมุดกลาง พระจอมเกล้าลาดกระบัง

รายงานการวิจัย

การออกแบบและสร้างอุปกรณ์วัดสัญญาณความผิดเพี้ยนทางขนาดและเฟส
ของระบบการส่งสัญญาณเสียง

Realization of Audio Test Signal used for Measuring Amplitude and Phase Distortions
In Audio Signal Transmission System



ได้รับทุนสนับสนุนงานวิจัยจากเงินรายได้ ประจำปีงบประมาณ 2554

คณะวิศวกรรมศาสตร์

รศ.สถาบันเทคโนโลยีพระจอมเกล้าเจ้าคุณทหารลาดกระบัง

TK
5102.9

๑๓๖๙๐

เอกสารนี้เลขหมู่.....
ไม่ว่ากรณีใดที่หนังสือฉบับนี้ถูกใช้เพื่อการศึกษาเท่านั้น ไม่อนุญาตให้นำไปเผยแพร่ในทางอื่นโดยไม่ได้รับอนุญาต
วัน,เดือน,ปี. 2.2...พ.ค...2557

เลขทะเบียน 131158

วัน,เดือน,ปี. 2.2...พ.ค...2557

b. 12602437
i.

กิตติกรรมประกาศ

โครงการวิจัยนี้สำเร็จลุล่วงได้เป็นอย่างดีด้วยคำแนะนำและคำปรึกษาด้านวิชาการจากรองศาสตราจารย์ ดร.กนก เชนจิระพงศ์เวช ผู้ร่วมวิจัย ผู้วิจัยรู้สึกซาบซึ้งในความอนุเคราะห์จากท่านอาจารย์และขอขอบพระคุณเป็นอย่างสูง ขอขอบคุณสถาบันเทคโนโลยีพระจอมเกล้าเจ้าคุณทหารลาดกระบังและคณาจารย์ทุกท่านที่ประสิทธิ์ประสาทวิชาความรู้ให้ผู้วิจัยตลอดมา

ขอขอบคุณรองศาสตราจารย์ ดร. จงกล งามวิวิทย์ และรองศาสตราจารย์ นิภา ลีลารุจิ พี่สาวที่แสนดี รองศาสตราจารย์ นภพินท์ อนันตรศิริชัย มิตรแท้ที่ยั่งยืน ผู้เป็นกำลังใจที่ดีเสมอมา

อรลภ แสงอรุณ ผู้วิจัย

ชื่อโครงการ (ภาษาไทย).....การออกแบบและสร้างอุปกรณ์วัดสัญญาณความผิดเพี้ยนทางขนาดและเฟส
ของระบบการส่งสัญญาณเสียง

ชื่อโครงการ(ภาษาอังกฤษ) Realization of Audio Test Signal used for Measuring Amplitude and Phase
Distortions in Audio signal Transmission system

แหล่งเงิน.....เงินรายได้คณะวิศวกรรมศาสตร์

ประจำปีงบประมาณ..... 2554..... จำนวนเงินที่ได้รับการสนับสนุน..... 64,900..... บาท

ระยะเวลาทำการวิจัย..... 1..... ปี ตั้งแต่ 1 ตุลาคม 2553 ถึง 30 กันยายน 2554 /

ชื่อ-สกุล หัวหน้าโครงการ และผู้ร่วมโครงการวิจัย พร้อมระบุ หน่วยงานต้นสังกัดและ อีเมล

นางสาว อรลภก แสงอรุณ

สาขาวิชาวิศวกรรมคอมพิวเตอร์ คณะวิศวกรรมศาสตร์

สถาบันเทคโนโลยีพระจอมเกล้าเจ้าคุณทหารลาดกระบัง

ksomlar@kmitl.ac.th

คำสำคัญ (Keywords) Modulated 2T Sine- squared Pulse, Audio Test Signal

บทคัดย่อ

งานวิจัยนี้ออกแบบและสร้างอุปกรณ์วัดสัญญาณความผิดเพี้ยนทางขนาดและเฟสของระบบการส่งสัญญาณเสียงด้วยสัญญาณทดสอบชาน์กำลังสองพัลส์ โดยนำเสนอวิธีการใหม่ในประมาณสัญญาณชาน์กำลังสองพัลส์ในขอบข่ายเวลาจากฟังก์ชันเศษส่วนที่มีตัวส่วนเป็นฟังก์ชันของเบสเซลโพลิโนเมียล และประมาณค่าสัมประสิทธิ์ของตัวเศษที่เหมาะสมด้วยวิธีการ Least square เพื่อให้ได้ผลตอบสนองชาน์กำลังสองพัลส์ที่มีค่าผิดพลาดน้อยที่สุด เมื่อเปรียบเทียบกับฟังก์ชันชาน์กำลังสองทางอุดมคติ จากนั้นนำสมการทรานสเฟอร์ฟังก์ชันที่ได้มาจำลองผลการทำงานด้วยโปรแกรม PSpice และทำการคูณกับสัญญาณพาหะเป็นสัญญาณมอดูเลทพัลส์ชาน์กำลังสองซึ่งเป็นสัญญาณทดสอบรูปคลื่นแบบง่าย และทำการสร้างวงจรจริงโดยใช้วงจรแอกทีฟอาร์ชี

Abstract

This research presents the designs of audio test signal used for measuring amplitude and phase distortions in audio signal transmission system using sine square pulse. In this paper, the sine squares pulse is approximated in the time domain basis by optimization the coefficient of rational function. In order to assure that the test signal has symmetrical sine square slope, hence the Bessel Polynomial is utilized as denominator of the transfer function. Herein, least square method is used for searching this optimum numerator coefficient of approximation transfer function. It is shown that we can generate the sine square test signal with smaller error. Simulation results are demonstrated by using PSpice and it can be realized by active networks.

สารบัญ

หน้า

กิตติกรรมประกาศ.....	I
บทคัดย่อภาษาไทย	
บทคัดย่อภาษาอังกฤษ.....	II
รูปผลงาน	III
สารบัญ.....	IV
สารบัญรูป.....	VII
บทที่ 1 บทนำ.....	1
1.1 แนวคิดและที่มาของปัญหา.....	1
1.2 วัตถุประสงค์.....	1
1.3 ขอบเขตของโครงการ.....	1
1.4 ผลที่คาดว่าจะได้รับ.....	2
1.5 อุปกรณ์ที่ต้องใช้.....	2
1.5.1 ฮาร์ดแวร์.....	2
1.5.2 ซอฟต์แวร์.....	2
บทที่ 2 การประมาณชาวน์กำลังสองพัลส์	3
2.1 บทนำ.....	3
2.2 สัญญาณชาวน์กำลังสองพัลส์ (Sine square pulse) ในอุดมคติ.....	3
2.3 สมการเบสเซลโพลีโนเมียล(Bessel Polynamia).....	4
2.4 วิธีกำลังสองน้อยที่สุด (Least square method)	6
2.5 การประมาณสัญญาณชาวน์กำลังสองพัลส์ในเชิงเวลา (Time Domain).....	7
2.6 ขั้นตอนการประมาณสัญญาณชาวน์กำลังสองพัลส์ (Approximate of Sine square pulse)	7
2.6.1 การประมาณสัญญาณชาวน์กำลังสองพัลส์โดยใช้สมการลำดับที่สาม	7
2.6.2 การประมาณสัญญาณชาวน์กำลังสองพัลส์โดยใช้สมการลำดับที่ห้า	9
2.6.3 การประมาณสัญญาณชาวน์กำลังสองพัลส์โดยใช้สมการลำดับที่เจ็ด	10

สารบัญ(ต่อ)

บทที่ 3 การออกแบบสร้างวงจร และผลการวัด.....	14
3.1 บทนำ.....	14
3.2 ขั้นตอนการออกแบบวงจรแบบออปแอมป์หนึ่งตัว.....	17
3.2.1 การออกแบบวงจร $H_1(s)$	17
3.3 จำลองการทำงานของวงจรแบบออปแอมป์หนึ่งตัวโดยใช้โปรแกรม Pspice.....	20
3.4 จำลองการทำงานของวงจรสัญญาณอินพุต.....	25
3.5 จำลองการทำงานของวงจรมัลติพลายเออร์.....	25
3.6 จำลองการทำงานของวงจรวก (Adder).....	26
3.7 จำลองการทำงานของวงจรสัญญาณพาหะ (Carrier).....	26
บทที่ 4 ผลการทดลอง.....	27
4.1 บทนำ.....	27
4.2 สัญญาณอินพุต.....	27
4.2.1 สัญญาณอินพุตจำลองผลบนโปรแกรม Pspice.....	27
4.2.2 สัญญาณอินพุตที่วัดได้จากวงจรจริง.....	28
4.3 สัญญาณเอาต์พุต.....	28
4.3.1 สัญญาณเอาต์พุตจำลองผลบนโปรแกรม Pspice.....	28
4.3.2 สัญญาณเอาต์พุตจากเครื่องออสซิลอสโคป.....	29
4.4 สัญญาณอินพุตเมื่อเปรียบเทียบกับสัญญาณเอาต์พุต.....	29
4.4.1 สัญญาณอินพุตเมื่อเปรียบเทียบกับสัญญาณเอาต์พุตจำลองผลบนโปรแกรม Pspice.....	29
4.4.2 สัญญาณอินพุตเมื่อเปรียบเทียบกับสัญญาณเอาต์พุตจากเครื่องออสซิลอสโคป.....	30
4.5 สัญญาณเอาต์พุตเมื่อเทียบกับสัญญาณพาหะ.....	30
4.5.1 สัญญาณเอาต์พุตเมื่อเทียบกับสัญญาณพาหะจำลองผลโดยโปรแกรม Pspice.....	30
4.5.2 สัญญาณเอาต์พุตเมื่อเทียบกับสัญญาณพาหะจากการวัดจากวงจรจริง.....	31
4.6 สัญญาณเอาต์พุตที่ได้จากการคูณสัญญาณววกกับสัญญาณไซน์กำลังสองพัลซ์.....	31
4.6.1 สัญญาณเอาต์พุตที่ได้จากการคูณสัญญาณววกกับสัญญาณไซน์กำลังสองพัลซ์ จำลองผล โดยโปรแกรม Pspice.....	31

สารบัญ(ต่อ)

4.6.2 สัญญาณเอาท์พุทที่ได้จากการคูณสัญญาณบวกกับสัญญาณซายน์กำลังสองพัลส์ จากเครื่องวงจรจริง	32
4.7 การทดสอบการวัดความผิดเพี้ยนในระบบการส่งสัญญาณเสียง.....	33
4.7.1 การทดสอบวัดสัญญาณที่จุดตัดข้าม (Crossover) ของวงจร cross over network.....	34
4.7.2 ผลการวัดจากวงจรจริง.....	34
บทที่ 5 สรุปผล	36
5.1 ผลที่ได้จากการทดลอง.....	36
5.2 แนวทางในการพัฒนาต่อไป.....	38
บรรณานุกรม.....	39
ภาคผนวก.....	40



สารบัญรูป

รูปที่	หน้า
2.1 สัญญาณชายน้กำลังสองพัลส์(Sin square pulse) ในอุดมคติ.....	4
2.2 ผลการประมาณสัญญาณชายน้กำลังสองพัลส์สมการลำดับที่สาม	8
2.3 ผลการประมาณสัญญาณชายน้กำลังสองพัลส์สมการลำดับที่สาม เทียบกับสัญญาณชายน้ในอุดมคติ	8
2.4 ค่าความผิดพลาดของสัญญาณชายน้กำลังสองพัลส์สมการลำดับที่สาม	8
2.5 ผลการประมาณสัญญาณชายน้กำลังสองพัลส์สมการลำดับที่ห้า	9
2.6 ผลการประมาณสัญญาณชายน้กำลังสองพัลส์สมการลำดับที่ห้า เทียบกับสัญญาณชายน้ในอุดมคติ.....	9
2.7 ค่าความผิดพลาดของสัญญาณชายน้กำลังสองพัลส์สมการลำดับที่ห้า โดยใช้วิธีทาสเคด.....	10
2.8 ผลการประมาณสัญญาณชายน้กำลังสองพัลส์สมการลำดับที่เจ็ด.....	11
2.9 ผลการประมาณสัญญาณชายน้กำลังสองพัลส์สมการลำดับที่เจ็ด เทียบกับสัญญาณชายน้ในอุดมคติ.....	11
2.10 ค่าความผิดพลาดของสัญญาณชายน้กำลังสองพัลส์สมการลำดับที่เจ็ด	11
3.1 โครงสร้างของวงจรแบบออปแอมป์หนึ่งตัว.....	14
3.2 วงจรสมการ $H_1(s)$	21
3.3 วงจรสมการ $H_2(s)$	21
3.4 วงจรสมการ $H_3(s)$	22
3.5 วงจรสมการ $H_4(s)$	22
3.6 วงจรบัฟเฟอร์.....	23
3.7 วงจรกรองความถี่ต่ำ.....	23
3.8 วงจรรวมออปแอมป์หนึ่งตัวนำมาทดสอบ.....	24

สารบัญรูป (ต่อ)

รูปที่	หน้า
3.9 วงจรสัญญาณอินพุต.....	25
3.10 วงจรมัลติพลายเออร์.....	25
3.11 วงจรบวก(Adder)	26
3.11 วงจรสัญญาณพาหะ.....	26
4.1 สัญญาณอินพุตบนโปรแกรม Pspice	27
4.2 สัญญาณอินพุตจากวงจรวัดโดยเครื่องออสซิลอสโคป	28
4.3 สัญญาณเอาต์พุตบนโปรแกรม Pspice	28
4.4 สัญญาณเอาต์พุตจากเครื่องออสซิลอสโคป.....	29
4.5 สัญญาณอินพุตเปรียบเทียบกับสัญญาณเอาต์พุตบนโปรแกรม Pspice	29
4.6 สัญญาณอินพุตเปรียบเทียบกับสัญญาณเอาต์พุตจากเครื่องออสซิลอสโคป	30
4.7 สัญญาณเอาต์พุตเมื่อคูณกับสัญญาณพาหะบนโปรแกรม Pspice.....	30
4.8 สัญญาณเอาต์พุตเมื่อคูณกับสัญญาณพาหะจากเครื่องออสซิลอสโคป.....	31
4.9 สัญญาณเอาต์พุตที่ได้จากการคูณสัญญาณบวกกับสัญญาณไซน์กำลังสองพัลซ์บนโปรแกรม PSpice	31
4.10 สัญญาณเอาต์พุตที่ได้จากการคูณสัญญาณบวกกับสัญญาณไซน์กำลังสองพัลซ์จากเครื่อง.....	32
4.11 สัญญาณเอาต์พุตที่ได้จากการคูณสัญญาณพาหะความถี่สูงเป็นบวกกับสัญญาณไซน์กำลังสองพัลซ์.....	32
4.12 สัญญาณเอาต์พุตที่ได้จากการคูณสัญญาณพาหะความถี่ต่ำเป็นบวกกับสัญญาณไซน์กำลังสองพัลซ์.....	32
4.13 ก.ภาพแสดงความถี่จุดตัดข้าม (Crossover frequency)ที่ดี ข.การผิดเพี้ยนของความถี่จุดตัดข้าม.....	33
4.14 ไดอแกรมแสดงการทดสอบ.....	34
4.15 a ผลการวัด สัญญาณ กรณี วงจรจุดตัดข้าม crossกันพอดี สัญญาณไม่ผิดเพี้ยน.....	34

สารบัญรูป (ต่อ)

รูปที่	หน้า
4.15 a ผลการวัด สัญญาณ กรณี วงจรจุดตัดข้าม crossกันพอดี สัญญาณไม่ผิดเพี้ยน.....	34
4.15 b. ผลการวัด สัญญาณ กรณีเกิด boost signal และbump signal	34
4.16 วงจรรวม.....	35
5.1 สัญญาณทดสอบที่จะนำไปใช้งานต่อไป.....	37
5.2 อุปกรณ์กำเนิดสัญญาณทดสอบที่สร้างขึ้น.....	37
5.3 ชุดอุปกรณ์การวัดความผิดเพี้ยนของระบบสัญญาณเสียง.....	38



บทที่ 1

บทนำ

1.1 แนวคิดและที่มาของปัญหา

ในการวัดคุณสมบัติของระบบสัญญาณเสียงทั้งทางขนาด (Magnitude response) และเฟส (Phase response) อุปกรณ์ทดสอบที่ออกแบบจะวัดคุณสมบัติข้างต้นทาง Frequency Domain ซึ่งมีความยุ่งยากและอุปกรณ์มีราคาแพงรวมทั้งอุปกรณ์ประกอบ เช่น ต้องใช้ Spectrum Analyzer หรือ Audio Analyzer

สำหรับงานวิจัยนี้จะสร้างสัญญาณทดสอบ Audio ซึ่งวัดได้ทั้งการผิดเพี้ยนทางขนาดและเฟสหรือกรุปดีเลย์พร้อมกันโดยสามารถวัดได้ทางขอบข่ายเวลา (Time Domain) แทนที่จะวัดทาง Frequency Domain ซึ่งยุ่งยากและราคาแพง โดยสัญญาณที่สร้างขึ้นเป็นไซน์กำลังพัลส์ mod รวมกับ Sub-carrier โดย Sub-carrier สามารถปรับความถี่ได้ตามที่ต้องการสำหรับความผิดเพี้ยนสามารถใช้ ออสซิลโลสโคปราคาถูกวัดได้ทั้งทางขนาดและทางเฟส

1.2 วัตถุประสงค์

2.1 เพื่อสร้างเครื่องต้นแบบในการวัดความผิดเพี้ยนของสัญญาณเสียงที่ความถี่กลางและความถี่สูง เพื่อใช้ในอุตสาหกรรมลำโพงเครื่องเสียง และต่อขยายงานวิจัย

2.2 เพื่อให้อุปกรณ์นี้วัดโครงข่ายจุดตัดข้าม (Cross over network) ในอุปกรณ์ชุดลำโพงเสียงเพื่อใช้แยกสัญญาณเสียงต่ำ (Woofer) และสัญญาณเสียงสูง (Tweeter)

1.3 ขอบเขตของโครงการ

1. ประมวลสัญญาณซายน์กำลังสองพัลส์ในโดเมนเวลาด้วยวิธีการใหม่ โดยประมวลจากฟังก์ชันเศษส่วน เพื่อให้ได้ผลตอบสนองซายน์กำลังสองพัลส์ใกล้เคียงซายน์กำลังสองพัลส์ในอุดมคติที่มีความผิดพลาดน้อยที่สุด
2. นำฟังก์ชันที่ได้จากการประมวล ไปสร้างวงจรจริงและเปรียบเทียบผลการวัดกับผลการคำนวณ

1.4 ผลที่คาดว่าจะได้รับ

1. อุปกรณ์วัดความผิดเพี้ยนของสัญญาณเสียง
2. สมการคณิตศาสตร์สำหรับประมาณสัญญาณชาน์กำลังพัลส์ (Sine square pulse) แบบใหม่

1.5 อุปกรณ์ที่ต้องใช้

1.5.1 ฮาร์ดแวร์

- เครื่องคอมพิวเตอร์สำหรับพัฒนาโปรแกรมจำลองสัญญาณต้นแบบและความผิดเพี้ยนของสัญญาณเสียง 1 เครื่อง
- อุปกรณ์อิเล็กทรอนิกส์สำหรับสร้างเครื่องกำเนิดสัญญาณต้นแบบและวัดความผิดเพี้ยน
- ชุดลำโพงพร้อมวงจรโครงข่ายจุดตัดข้ามที่จะทดสอบ
- เครื่องออสซิลอสโคป 1 เครื่อง
- เครื่องกำเนิดสัญญาณต้นแบบ (Arbitrary waveform) 1 เครื่อง

1.5.2 ซอฟต์แวร์

- โปรแกรม MATLAB version 2009
- โปรแกรม Orcad PSpice 9.1

บทที่ 2

การประมาณชายน์กำลังสองพัลซ์

2.1 บทนำ

การออกแบบเน็ตเวิร์กฟังก์ชัน เพื่อให้ได้ผลตอบสนองต่อสัญญาณชายน์กำลังสองพัลซ์ สามารถประมาณผลตอบสนองได้ทั้งในขอบข่ายความถี่ และขอบข่ายเวลา สำหรับการประมาณ ฟังก์ชันในขอบข่ายความถี่นั้นมีความยุ่งยากมาก ในปริภูมิตวินนิจ์ได้เสนอการประมาณ เน็ตเวิร์กฟังก์ชันในขอบข่ายเวลา ซึ่งการประมาณฟังก์ชันในขอบข่ายเวลานี้มีการวิจัยกันอย่าง ต่อเนื่อง เพื่อให้ได้ผลตอบสนองต่อสัญญาณชายน์กำลังสองพัลซ์ที่ดีที่สุด เช่น การประมาณ ฟังก์ชันด้วยวิธีการหาค่าที่เหมาะสมที่สุด (Optimization) ซึ่งวิธีการนี้ถ้าการออปติไมเซชัน ไม่เหมาะสม อาจทำให้ต้องใช้เวลาในการคำนวณมาก

สำหรับบทวิจัยนี้ได้เสนอวิธีการใหม่ในการประมาณเน็ตเวิร์กฟังก์ชัน โดยกำหนดให้ ฟังก์ชันของสมการเศษส่วน (Rational function) ให้มีตัวส่วนเป็น เบสเซลโพลีโนเมียล (Bessel Polynomial) ซึ่งมีเฟสเป็นเส้นตรง (Linear phase) จากนั้นทำการประมาณตัวเศษด้วยวิธีกำลัง สองน้อยที่สุด (Least Square) เพื่อหาค่าสัมประสิทธิ์ของตัวเศษที่เหมาะสม ดังจะกล่าวใน รายละเอียดต่อไป

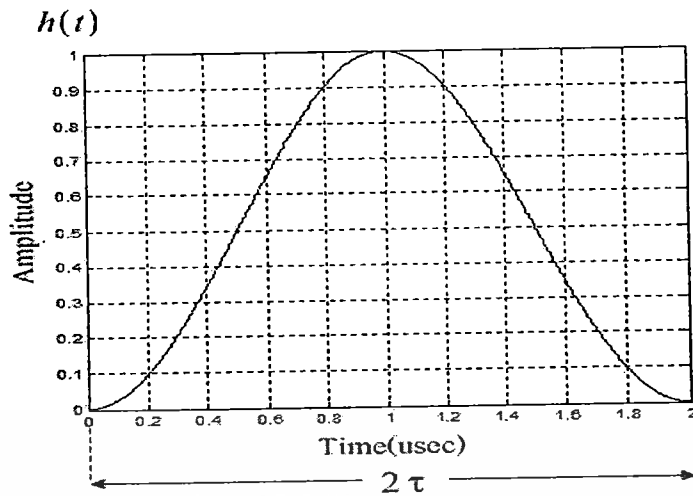
2.2 สัญญาณชายน์กำลังสองพัลซ์ (Sine square pulse) ในอุดมคติ

สัญญาณชายน์กำลังสองพัลซ์ เป็นสัญญาณที่นิยมใช้เป็นสัญญาณทดสอบในการ ส่งสัญญาณภาพในระบบโทรทัศน์ สำหรับงานวิจัยนี้เสนอแนวคิดใหม่โดยนำสัญญาณชายน์กำลัง สองพัลซ์ ดังกล่าว มาเป็นสัญญาณทดสอบในระบบการส่งสัญญาณเสียง แต่เนื่องจาก สัญญาณชายน์กำลังสองพัลซ์ในอุดมคติไม่สามารถสร้างเป็นวงจรจริงได้ จึงต้องทำการ ประมาณจากทรานสเฟอร์ฟังก์ชัน

สัญญาณชายน์กำลังสองพัลซ์ ในอุดมคติแสดงโดยสมการ (2.1)

$$h(t) = \sin^2\left(\frac{\pi t}{2\tau}\right) ; 0 \leq t \leq 2\tau \quad (2.1)$$

จากสมการ (2.1) สามารถพล็อตรูปสัญญาณชายน์กำลังสองพัลซ์ได้ ดังแสดงในรูปที่ 2.1



รูปที่ 2.1 สัญญาณชานี้กำลังสองพัลส์ (Sine square pulse) ในอุดมคติ โดยที่ 2τ เป็นแบนวิคท์ของสัญญาณเสียงความถี่ต่ำ

2.3 สมการเบสเซลโพลิโนเมียล (Bessel Polynomial)

ในทางคณิตศาสตร์ เบสเซลโพลิโนเมียลเป็นลำดับมมจากของสมการพหุนาม ซึ่งมีการให้ความหมายที่แตกต่างกันออกไปหลายแบบ แต่คำนิยามที่เป็นที่นิยมของนักวิทยาศาสตร์แสดงดังสมการ (2.2)

$$y_n(x) = \sum_{k=0}^n \frac{(n+k)!}{(n-k)!k!} \left(\frac{x}{2}\right)^k \quad (2.2)$$

และอีกความหมายหนึ่ง ที่นิยมใช้ในทางวิศวกรรมไฟฟ้า ที่เรียกกันในเรื่องเบสเซลโพลิเมียลแบบย้อนกลับ (Reverse Bessel polynomials) แสดงดังสมการ (2.3)

$$\theta_n(x) = x^n y_n\left(\frac{1}{x}\right) = \sum_{k=0}^n \frac{(2n+k)!}{(n-k)!k!} \frac{x^k}{2^{n-k}} \quad (2.3)$$

โดยค่าสัมประสิทธิ์ของสมการ (2.2) ที่หาได้จะเหมือนกับในสมการ (2.3) แต่เรียงอยู่หน้าสมการลำดับที่กลับกัน ตัวอย่าง สมการของเบสเซลโพลิโนเมียลจะอยู่ในรูปของสมการ (2.4)

$$\begin{aligned}
y_1(x) &= x+1 \\
y_2(x) &= 3x^2 + 3x+1 \\
y_3(x) &= 15x^3 + 15x^2 + 6x+1 \\
y_4(x) &= 105x^4 + 105x^3 + 45x^2 + 10x+1 \\
y_5(x) &= 945x^5 + 945x^4 + 420x^3 + 105x^2 + 15x+1 \\
y_6(x) &= 10395x^6 + 10395x^5 + 4725x^4 + 1260x^3 + 210x^2 + 21x+1 \\
y_7(x) &= 135135x^7 + 135135x^6 + 62370x^5 + 17325x^4 + 3150x^3 + 378x^2 + 28x+1
\end{aligned}
\tag{2.4}$$

ในขณะที่รูปสมการของเบสเสลโพลิโนเมียลแบบย้อนกลับอยู่ในรูปของสมการ (2.5)

$$\begin{aligned}
\theta_1(x) &= x+1 \\
\theta_2(x) &= x^2 + 3x+3 \\
\theta_3(x) &= x^3 + 6x^2 + 15x+15 \\
\theta_4(x) &= x^4 + 10x^3 + 45x^2 + 105x+105 \\
\theta_5(x) &= x^5 + 15x^4 + 105x^3 + 420x^2 + 945x+945 \\
\theta_6(x) &= x^6 + 21x^5 + 210x^4 + 1260x^3 + 4725x^2 + 10395x+10395 \\
\theta_7(x) &= x^7 + 28x^6 + 378x^5 + 3150x^4 + 17325x^3 + 62370x^2 + 135135x+135135
\end{aligned}
\tag{2.5}$$

โดยเบสเสลโพลิโนเมียลแบบย้อนกลับนี้จะนำไปใช้ในการออกแบบตัวกรองสัญญาณทางอิเล็กทรอนิกส์

ข้อดีของเบสเสลโพลิโนเมียล

- ค่าโพล (Pole) ที่ได้มาจากการใช้สมการเบสเสลโพลิโนเมียล จะอยู่ในครึ่งซ้ายของวงกลมหนึ่งหน่วยเสมอ ซึ่งจะสามารถบอกได้เลยว่า เมื่อนำสมการนี้ไปใช้ในระบบ ระบบจะมีความเสถียร

- สมการของเบสเสลโพลิโนเมียลจะให้สัญญาณที่มีเฟสเป็นเส้นตรง (Linear phase) ซึ่งคุณสมบัติของเฟสที่เป็นเส้นตรงนั้นจะให้ผลตอบสนองอิมพัลส์ของระบบ (Impulse response) ที่มีความสมมาตร เมื่อนำสมการนี้ไปสร้างสัญญาณชายนี่กำลังสองพัลส์รูปสัญญาณที่ได้จะมีความสมมาตรตามไปด้วย

2.4 วิธีกำลังสองน้อยที่สุด (Least square method)

การหาสัมประสิทธิ์เทอมเศษนั้น เป็นการง่ายที่จะนำเอาวิธีกำลังสองน้อยที่สุดมาเป็นเกณฑ์ในการหาค่าสัมประสิทธิ์ของเทอมต่างๆ เพื่อประมาณผลตอบสนองอิมพัลซ์ของระบบ และการประมาณค่าฟังก์ชัน โดยวิธีกำลังสองน้อยที่สุด จะได้ฟังก์ชันที่ดีที่สุดของข้อมูล เพราะเกิดจากการเฉลี่ยค่าความคลาดเคลื่อนของข้อมูลให้เหลือน้อยที่สุด ซึ่งวิธีกำลังสองน้อยที่สุดนั้น แสดงดังสมการ (3.6)

$$h^*(t) = \sum_{v=1}^m [2A_v \epsilon^{-\omega_v t} \cos \beta_v t + 2B_v \epsilon^{-\omega_v t} \sin \beta_v t] + \sum_{\mu=1}^n C_\mu \epsilon^{-\omega_\mu t} \quad (2.6)$$

แต่ละค่าของ V จะเป็นค่าโพลของกลุ่มคอนจูเกต และแต่ละค่าของ μ จะเป็นค่าโพลที่เป็นจำนวนจริง

$$E_2 = \int_{t_1}^{t_2} [h(t) - h^*(t)]^2 dt \quad ; \quad t_1 < t < t_2 \quad (2.7)$$

โดยกำหนดให้

$$\frac{\partial E_2}{\partial A_v} = 0, \quad \frac{\partial E_2}{\partial B_v} = 0, \quad \frac{\partial E_2}{\partial C_\mu} = 0$$

จะได้ $2M+N$ สมการ :

$$\int_{t_1}^{t_2} [h(t) - h^*(t)] \epsilon^{-\omega_v t} \cos \beta_v t \, dt = 0 \quad (2.8)$$

$$\int_{t_1}^{t_2} [h(t) - h^*(t)] \epsilon^{-\omega_v t} \sin \beta_v t \, dt = 0 \quad (2.9)$$

$$\int_{t_1}^{t_2} [h(t) - h^*(t)] \epsilon^{-\omega_\mu t} \, dt = 0 \quad v=1,2,\dots,M, \quad \mu=1,2,\dots,N \quad (2.10)$$

ตั้งแต่ค่าของ A_v , B_v และ C_μ ที่ประกอบอยู่ในสมการที่ (2.10) เรายังไม่ทราบค่า เราสามารถหาได้โดยง่ายด้วยการอินทิเกรต ในกลุ่มของสมการ $2M+N$ ส่วนค่าสัมประสิทธิ์ซึ่งเป็นค่าคงที่ ก็จะได้มาจากการอินทิเกรตของแต่ละรูปแบบตามสมการข้างล่างนี้

$$\int_{t_1}^{t_2} h(t) \epsilon^{-\omega_v t} \cos \beta_v t \, dt = 0 \quad (2.11)$$

$$\int_{t_1}^{t_2} h(t) e^{-\sigma_v t} \sin \beta_v t \, dt = 0 \quad (2.12)$$

$$\int_{t_1}^{t_2} h(t) e^{-\sigma_v t} dt = 0 \quad (2.13)$$

2.5 การประมาณสัญญาณชายน้กำลังสองพัลซ์ในเชิงเวลา (Time Domain)

จากทฤษฎีพื้นฐาน โดยกำหนดค่าเน็ทเวิร์กฟังก์ชันเป็นทรานสเฟอร์ฟังก์ชันที่อยู่ในรูปสมการโพลี โนเมียล เพื่อสะดวกในการนำไปสร้างวงจรจริง รูปแบบของสมการแสดงดังสมการ (2.14)

$$H(s) = \frac{P(s)}{Q(s)} \quad (2.14)$$

เมื่อ $P(s)$ เป็นฟังก์ชันตัวเศษ

$Q(s)$ เป็นฟังก์ชันตัวส่วน

การประมาณสัญญาณชายน้กำลังสองพัลซ์ในที่นี้เลือกใช้วิธีการของเบสเสลโพลี โนเมียล ในการหาค่า $Q(s)$ ส่วนการหาค่า $P(s)$ ใช้วิธีการวิธีกำลังสองน้อยที่สุด

2.6 ขั้นตอนการประมาณสัญญาณชายน้กำลังสองพัลซ์ (Approximate of Sine square pulse)

2.6.1 การประมาณสัญญาณชายน้กำลังสองพัลซ์โดยใช้สมการลำดับที่สาม

$$H(s) = \frac{P(s)}{Q(s)} = \frac{s^3 + \alpha_2 s^2 + \alpha_1 s + \alpha_0}{(s^2 + 3s + 3)(s + 1)} \quad (2.15)$$

ดังนั้น

$$h^*(t) = 2Ae^{-1.5t} \cos(0.866t) + 2Be^{-1.5t} \sin(0.866t) + Ce^{-t} \quad (2.16)$$

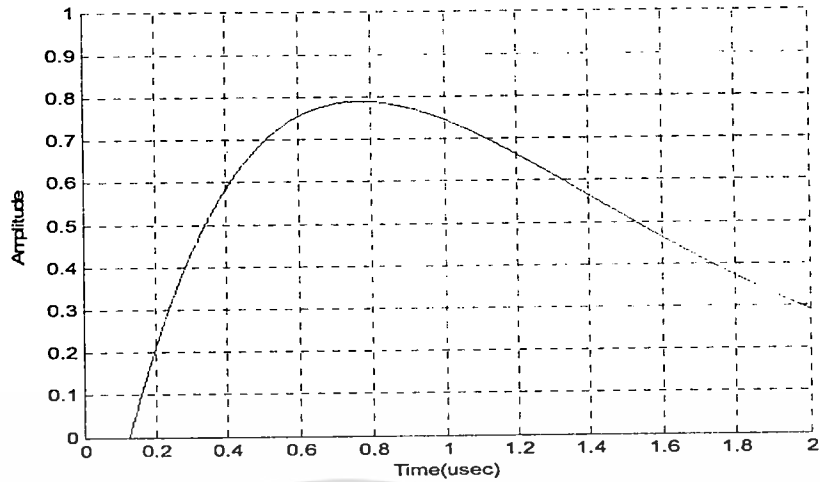
หาสัมประสิทธิ์โดยใช้วิธีกำลังสองน้อยที่สุด

$$E_2 = \int_{t_1}^{t_2} [h(t) - h^*(t)]^2 dt$$

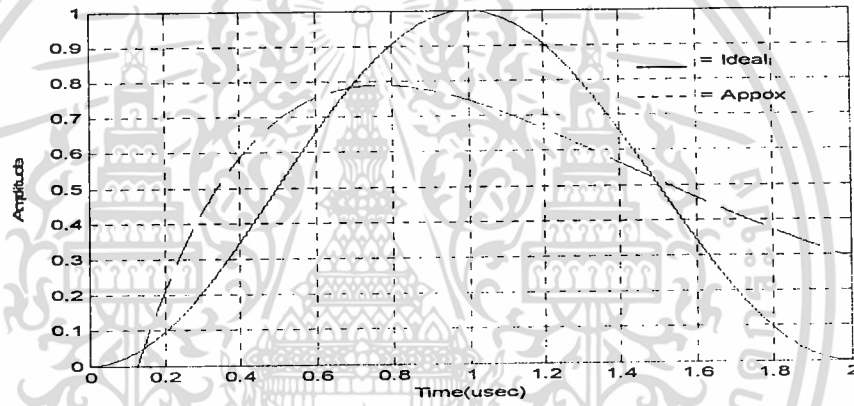
$$\frac{\partial}{\partial A} E_2 = 0, \quad \frac{\partial}{\partial B} E_2 = 0, \quad \frac{\partial}{\partial C} E_2 = 0$$

$$A = -0.572, \quad B = 1.962, \quad C = 0.664$$

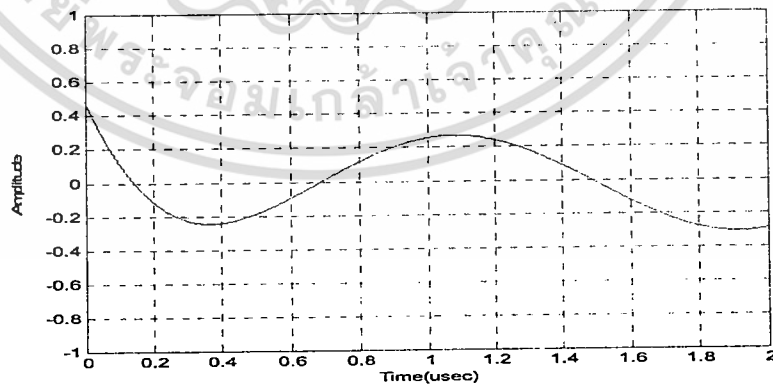
จากนั้นนำค่า A, B, C ที่หาได้แทนในสมการที่ (2.16) นำมาพล็อตในเชิงเวลา แสดงดังรูปที่ 2.2



รูปที่ 2.2 ผลการประมาณสัญญาณชายน้กำลังสองพัลส์สมการลำดับที่สาม ตามสมการที่ (2.16)



รูปที่ 2.3 ผลการประมาณสัญญาณชายน้กำลังสองพัลส์สมการลำดับที่สาม ตามสมการที่ (2.16)เทียบกับสัญญาณชายน้ในอุดมคติ ตามสมการที่ (2.1)

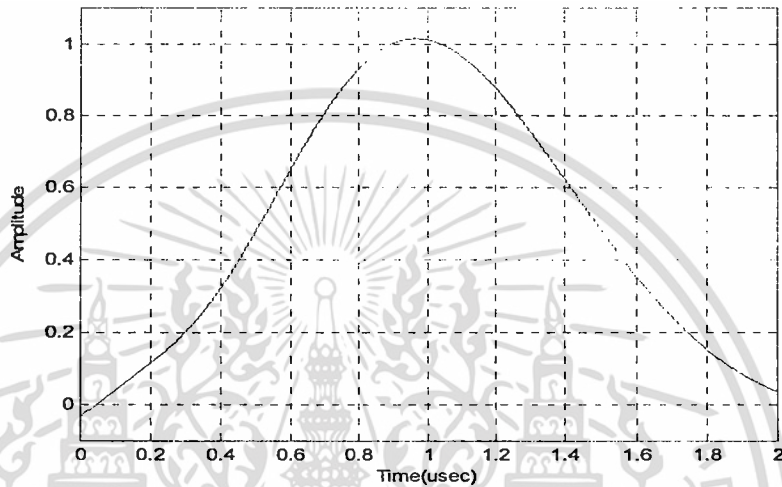


รูปที่ 2.4 ค่าความผิดพลาดของสัญญาณชายน้กำลังสองพัลส์สมการลำดับที่สาม

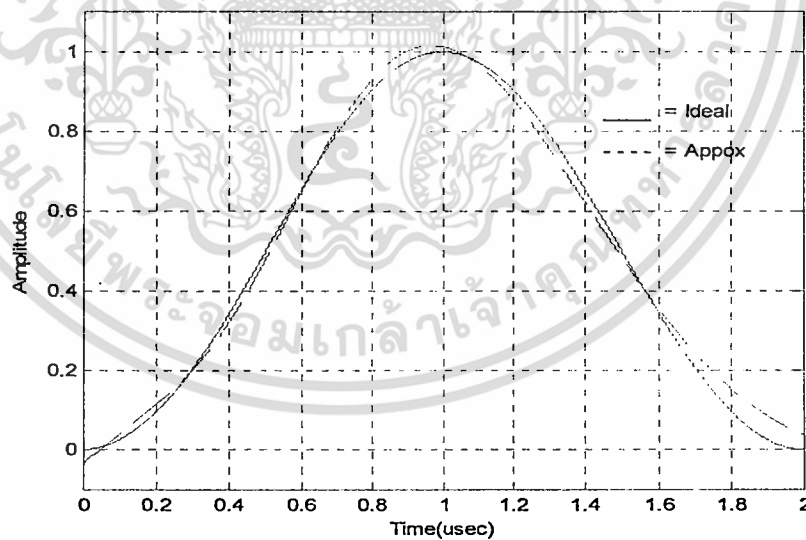
2.6.2 การประมาณสัญญาณชายน้กำลังสองพัลส์โดยใช้สมการลำดับที่ห้า

$$H(s) = \frac{s^5 + \alpha_4 s^4 + \alpha_3 s^3 + \alpha_2 s^2 + \alpha_1 s + \alpha_0}{s^5 + 15s^4 + 105s^3 + 420s^2 + 945s + 945} \quad (2.17)$$

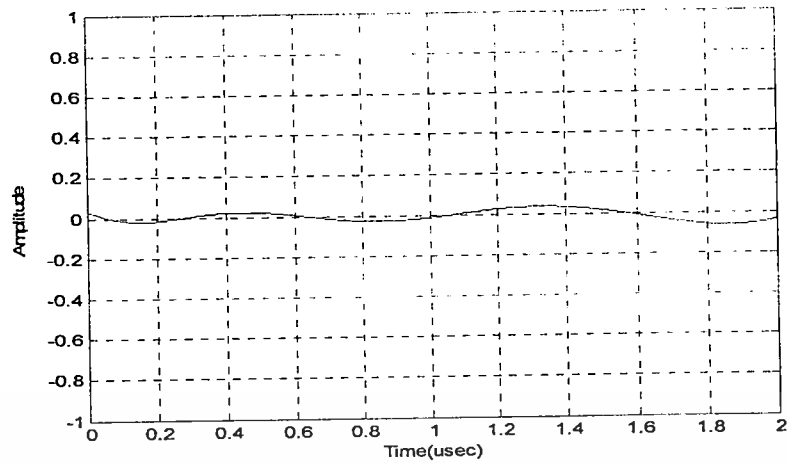
ในการทำงานเดียวกันกับวิธีข้างต้น จากสมการ 2.17 สามารถพล็อตกราฟของผลตอบสนองในเชิงเวลา แสดงดังรูปที่ 2.5



รูปที่ 2.5 ผลการประมาณสัญญาณชายน้กำลังสองพัลส์สมการลำดับที่ห้า



รูปที่ 2.6 ผลการประมาณสัญญาณชายน้กำลังสองพัลส์สมการลำดับที่ห้า
เทียบกับสัญญาณชายน้ในอุดมคติ ตามสมการที่ (2.1)



รูปที่ 2.7 ค่าความผิดพลาดของสัญญาณชายน้กำลังสองพัลส์สมการลำดับที่ห้า

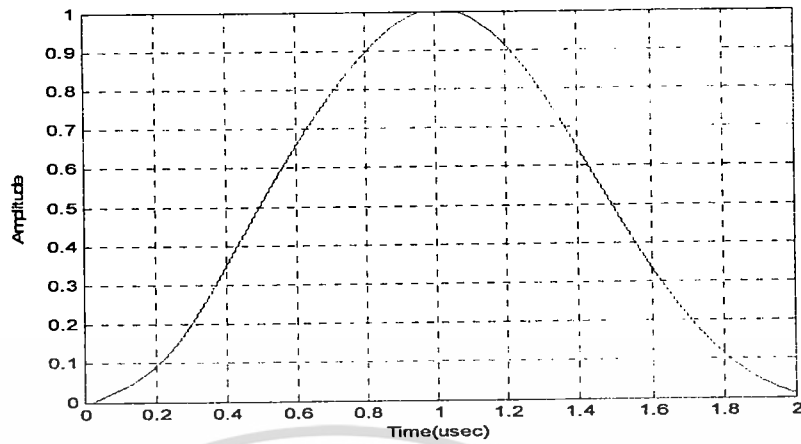
2.6.3 การประมาณสัญญาณชายน้กำลังสองพัลส์โดยใช้สมการลำดับที่เจ็ด

$$H(s) = \frac{s^7 + \alpha_6 s^6 + s^5 + \alpha_4 s^4}{s^7 + 28s^6 + 378s^5 + 3150s^4 + \alpha_3 s^3 + \alpha_2 s^2 + \alpha_1 s + \alpha_0} + \frac{17325s^3 + 62370s^2 + 135135s + 135135}{s^7 + 28s^6 + 378s^5 + 3150s^4 + \alpha_3 s^3 + \alpha_2 s^2 + \alpha_1 s + \alpha_0} \quad (2.17)$$

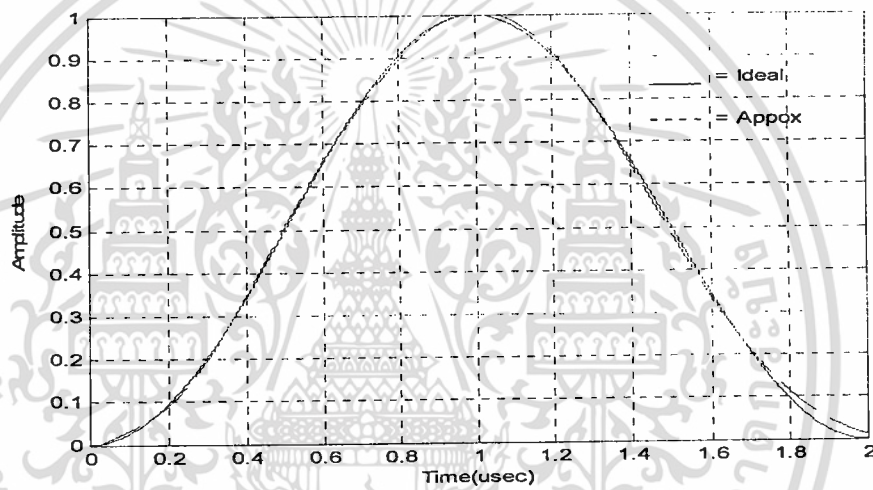
ดังนั้น

$$h^*(t) = 2Ae^{-2.6857t} \cos(5.4207t) + 2Be^{-2.6857t} \sin(5.4207t) + 2Ce^{-4.0701t} \cos(3.5172t) + 2De^{-4.0701t} \sin(3.5172t) + 2Ee^{-4.7583t} \cos(1.7393t) + 2Fe^{-4.7583t} \sin(1.7393t) + Ge^{-4.9718t} \quad (2.18)$$

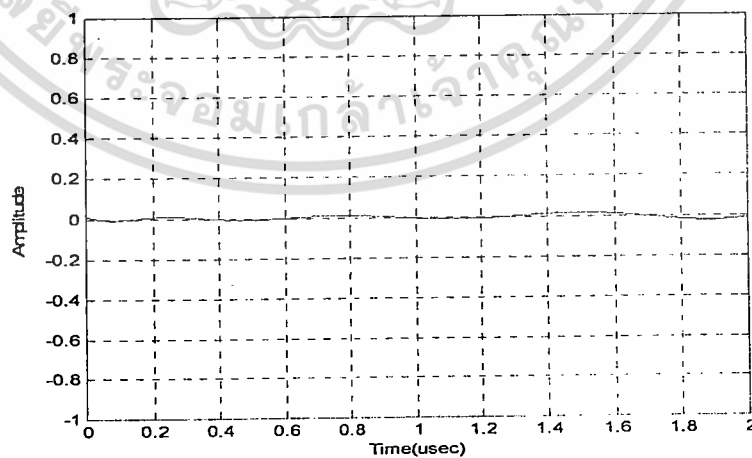
หาสัมประสิทธิ์โดยใช้วิธีกำลังสองน้อยที่สุด ได้ค่า A,B,C,D,E,F และ G ที่หาได้แทนลงในสมการที่ (2.18) นำมาพล็อตในเชิงเวลา แสดงได้ตามรูป 2.8



รูปที่ 2.8 ผลการประมาณสัญญาณชาน์กำลังสองพัลส์สมการลำดับที่เจ็ด ตามสมการที่ (2.18)



รูปที่ 2.9 ผลการประมาณสัญญาณชาน์กำลังสองพัลส์สมการลำดับที่เจ็ด ตามสมการที่ (2.18) เทียบกับสัญญาณชาน์ในอุดมคติ ตามสมการที่ (2.1)



รูปที่ 2.10 ค่าความผิดพลาดของสัญญาณชาน์กำลังสองพัลส์สมการลำดับที่เจ็ด

จากการประมาณสัญญาณชาวน์กำลังสองพัลส์โดยใช้สมการลำดับต่างๆ จะเห็นได้ว่าเมื่อจำนวนลำดับสมการเพิ่มมากขึ้นรูปสัญญาณชาวน์กำลังสองพัลส์ที่สร้างขึ้น ก็ยิ่งใกล้เคียงกับสัญญาณชาวน์กำลังสองพัลส์ในอุดมคติ แต่ในทางตรงกันข้ามเมื่อสมการลำดับยิ่งสูงวงจรของสัญญาณชาวน์กำลังสองพัลส์จะมีขนาดวงจรที่ใหญ่ขึ้น ใช้อุปกรณ์มากขึ้น และการต่อวงจรก็จะยากขึ้นตามไปด้วย ซึ่งในงานวิจัยนี้เลือกใช้สัญญาณชาวน์กำลังสองพัลส์ลำดับที่เจ็ด ดังนั้นจะหาค่าสัมประสิทธิ์ α ได้จาก

$$A = -1.611$$

$$B = 1.868$$

$$C = 27.851$$

$$D = -17.542$$

$$E = -110.333$$

$$F = 30.974$$

$$G = 168.175$$

$$A = 0.00002\alpha_0 + 0.00018\alpha_1 - 0.00166\alpha_2 + 0.0022\alpha_3 + 0.04893\alpha_4 - 0.3435\alpha_5 + 0.005442\alpha_6 + 12.27867 \quad (3.31)$$

$$B = 0.00028\alpha_0 - 0.00068\alpha_1 - 0.0067\alpha_2 + 0.0608\alpha_3 - 0.0807\alpha_4 - 1.7906\alpha_5 + 12.5321\alpha_6 - 1.9921 \quad (3.32)$$

$$C = 0.00012\alpha_0 - 0.0017\alpha_1 + 0.0103\alpha_2 - 0.0347\alpha_3 - 0.0165\alpha_4 + 1.1375\alpha_5 - 8.7813\alpha_6 + 38.5677 \quad (3.33)$$

$$D = -0.00072\alpha_0 - 0.0035\alpha_1 + 0.0492\alpha_2 - 0.2989\alpha_3 + 1.0031\alpha_4 + 0.4780\alpha_5 - 32.9139\alpha_6 + 254.0997 \quad (3.34)$$

$$E = -0.00086\alpha_0 + 0.00507\alpha_1 - 0.02630\alpha_2 + 0.12017\alpha_3 - 0.46850\alpha_4 + 1.37415\alpha_5 - 1.05249\alpha_6 - 25.2535 \quad (3.35)$$

$$F = -0.0031\alpha_0 + 0.02135\alpha_1 - 0.13012\alpha_2 + 0.67511\alpha_3 - 3.08437\alpha_4 + 12.02474\alpha_5 - 35.26960\alpha_6 + 27.01366 \quad (3.36)$$

$$G = 0.00071\alpha_0 - 0.0035\alpha_1 + 0.01764\alpha_2 - 0.08771\alpha_3 + 0.43608\alpha_4 - 2.1681\alpha_5 + 10.77939\alpha_6 - 53.59295 \quad (3.37)$$

จะได้ค่า α ดังนี้

$$\alpha_0 = 3002153.472$$

$$\alpha_1 = 2017652.450$$

$$\alpha_2 = 678612.257$$

$$\alpha_3 = 137392.437$$

$$\alpha_4 = 17613.116$$

$$\alpha_5 = 1390.305$$

$$\alpha_6 = 51.702$$

ฉะนั้นจะได้สมการเป็น ดังสมการต่อไปนี้

$$H(s) = \frac{s^7 + 51.702s^6 + 1390.305s^5 + 17613.116s^4 + 137392.437s^3 + 678612.257s^2 + 2017652.45s + 3002153.472}{s^7 + 28s^6 + 378s^5 + 3150s^4 + 17325s^3 + 62370s^2 + 135135s + 135135} \quad (2.19)$$

จัดรูปใหม่

$$H(s) = \frac{[s^2 + 5.5254s + 36.4608][s^2 + 6.9012s + 24.5674]}{[s^2 + 5.3714s + 36.597][s^2 + 9.5166s + 25.6666]} \cdot \frac{[s^2 + 33.8696s + 619.9923][s + 5.4058]}{[s^2 + 8.1402s + 28.9364][s + 4.9718]} \quad (2.20)$$

บทที่ 3

การออกแบบสร้างวงจร และผลการวัด

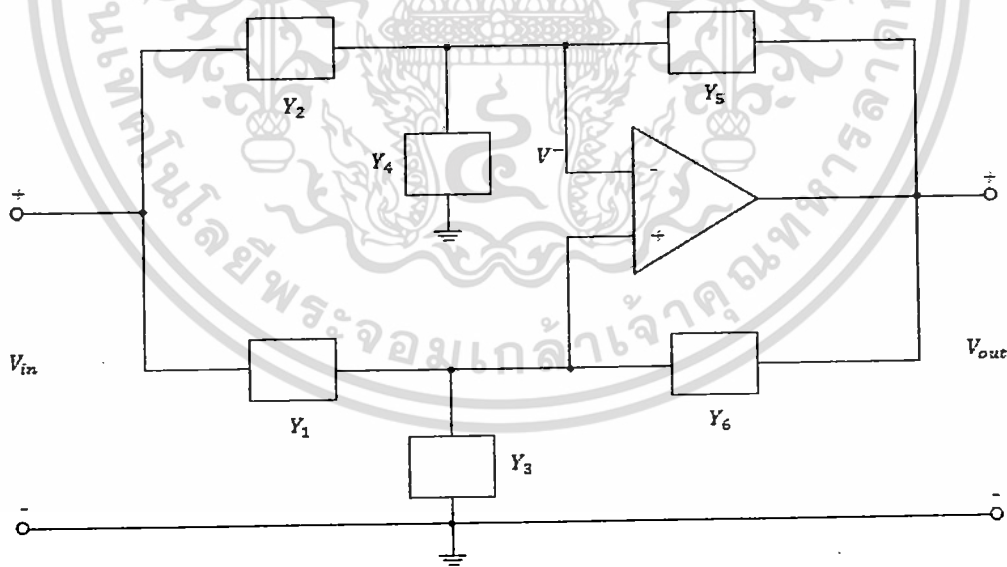
3.1 บทนำ

ในการสังเคราะห์วงจรเน็ทเวิร์กแบบแอคทีฟ อาร์ ซี จากทรานสเฟอร์ฟังก์ชันนั้นอาจทำได้ 2 วิธี คือ

1. วิธีคาสเคด (Cascade) โดยการแยกองค์ประกอบของเน็ทเวิร์กฟังก์ชันให้อยู่ในรูปผลคูณของเทอมลำดับที่หนึ่ง (First order) หรือเทอมลำดับที่สอง (Second order) ในกรณีที่มีโพลจริงคูณอยู่ด้วย แต่ละเทอมสามารถนำมาสร้างวงจรแบบแอคทีฟ อาร์ ซี (Active R C circuit) ที่มีรูปแบบเดียวกันแล้วนำมาอนุกรมกัน จะได้วงจรรวมแทนทรานสเฟอร์ฟังก์ชันทั้งหมด

2. วิธีโดยตรง (Direct) คือการสร้างวงจรแบบแอคทีฟ อาร์ ซี วงจรเดียวแทนทรานสเฟอร์ฟังก์ชันทั้งหมด รูปแบบวงจรจึงซับซ้อนแตกต่างกันไปตามลำดับสูงสุดของเน็ทเวิร์กฟังก์ชัน

สำหรับงานวิจัยนี้เลือกใช้โครงสร้างของวงจร แบบ ใช้ ออปแอมป์ หนึ่งตัว (Single-Amplifier Realization) ดังแสดงในรูปที่ 3.1 มาคาสเคดกัน



รูปที่ 3.1 โครงสร้างของวงจรแบบออปแอมป์หนึ่งตัว

จากรูปที่ 3.1 ที่ปลายของระยะทั้ง 2 ของออปแอมป์เป็นสมการได้ว่า

$$Y_2(V - V_{in}) + Y_4(V) + Y_6(V - V_0) = 0 \quad (3.1)$$

$$Y_1(V - V_{in}) + Y_3(V) + Y_5(V - V_0) = 0 \quad (3.2)$$

จาก (3.1) และ (3.2) เราตัดเทอม V ออกจะได้ Transfer voltage ratio ฟังก์ชันคือ

$$\begin{aligned} H(s) &= \frac{V_0(s)}{V_{in}(s)} \\ &= \frac{Y_1(Y_2 + Y_4 + Y_6) - Y_2(Y_1 + Y_3 + Y_5)}{Y_6(Y_1 + Y_3 + Y_2) - Y_5(Y_2 + Y_4 + Y_2)} \end{aligned} \quad (3.3)$$

จาก (3.3) ทำให้สมการง่ายต่อการคำนวณ (Simplify) โดยให้

$$Y_1 + Y_3 + Y_5 = Y_2 + Y_4 + Y_6 \quad (3.4)$$

ตามเงื่อนไขในสมการ (3.4) สมการ (3.3) จะลดรูปลงเหลือ

$$H(s) = \frac{V_0(s)}{V_{in}(s)} = \frac{Y_1 - Y_2}{Y_6 - Y_5} = \frac{Y_2 - Y_1}{Y_5 - Y_6} \quad (3.5)$$

สมการ (3.5) เขียนเป็นรูปแบบของทรานสเฟอร์ฟังก์ชันได้ทั่วไปว่า

$$H(s) = \frac{P(s)}{Q(s)} \quad (3.6)$$

เพื่อให้สมการ (3.6) สามารถออกแบบให้เป็นวงจร RC ได้ โดยใช้ทฤษฎีของ RC One-port network ซึ่งคุณสมบัติของ RC ในรูป One-port admittance เขียนได้ว่า

$$Y(s) = \frac{Hs(S + \alpha_3)(S + \alpha_5)(S + \alpha_5)\dots}{(S + \alpha_2)(S + \alpha_4)\dots} \quad (3.7)$$

โดยที่ $0 < \alpha_2 < \alpha_3 < \alpha_4 < \alpha_5 \dots$

$$\frac{Y(s)}{S} = H + \frac{k_0}{S} + \frac{k_2}{S + \alpha_2} + \frac{k_3}{S + \alpha_4} + \dots \quad (3.8)$$

จาก (3.6) ให้

$$H(s) = \frac{P(s)}{\frac{D(s)}{\frac{Q(s)}{D(s)}}} \quad (3.9)$$

โดยที่ $D(s)$ มีรากที่ไม่จำกัด (Unrestricted) แต่มีเงื่อนไขว่ารากจะต้องเป็นรากง่าย ๆ (Simple) ค่าจริง (Real) และอยู่บน Negative axis เท่านั้น

จาก (3.9) เทียบเป็นสัมประสิทธิ์กับ (3.5) จะได้

$$\frac{P(s)}{D(s)} = Y_1 - Y_2 \quad \text{หรือ} \quad Y_2 - Y_1 \quad (3.10a)$$

$$\frac{Q(s)}{D(s)} = Y_6 - Y_5 \quad \text{หรือ} \quad Y_5 - Y_6 \quad (3.10b)$$

หรือ

$$\frac{P(s)}{D(s)} = K_\infty s + \frac{\sum_i k_i s}{s + \sigma_i} - \frac{\sum_j k_j s}{s + \beta_j} \quad (3.11a)$$

$$\frac{Q(s)}{D(s)} = K_\infty s + \frac{\sum_u k_u s}{s + \sigma_u} - \frac{\sum_v k_v s}{s + \beta_v} \quad (3.11b)$$

โดยที่สัมประสิทธิ์ k_∞, k_i, k_j, k_u และ k_v เป็นบวกและเป็นค่าจริง ถ้า k_∞ และ k_∞ เป็นบวก จะได้ว่า

$$Y_1(s) = K_\infty s + \frac{\sum_i k_i s}{s + \sigma_i} \quad \text{และ} \quad Y_2(s) = \frac{\sum_j k_j s}{s + \beta_j} \quad (3.12a)$$

$$Y_5(s) = \frac{\sum_v k_v s}{s + \beta_v} \quad \text{และ} \quad Y_6(s) = K_\infty s + \frac{\sum_u k_u s}{s + \sigma_u} \quad (3.12b)$$

$$Y_1(s) = \frac{\sum_v k_v s}{s + \beta_v} \quad \text{และ} \quad Y_6(s) = K_\infty s + \frac{\sum_u k_u s}{s + \sigma_u} \quad (3.13a)$$

$$Y_5(s) = K_\infty s + \frac{\sum_u k_u s}{s + \sigma_u} \quad \text{และ} \quad Y_6(s) = \frac{\sum_u k_u s}{s + \sigma_u} \quad (3.13b)$$

ซึ่งจากสมการ (3.12a) และ (3.12b) สามารถออกแบบสร้างเป็นวงจร RC สุดท้ายในการ

คำนวณหาค่า Y_3 และ Y_4 จากสมการ (3.4) สามารถเขียนใหม่ได้ว่า

$$Y_3 - Y_4 = (Y_6 - Y_5) - (Y_1 - Y_2)$$

$$= Q(s) - \frac{P(s)}{D(s)} \quad (3.14a)$$

หรือ

$$Y_4 - Y_3 = (Y_5 - Y_6) - (Y_2 - Y_1)$$

$$= Q(s) - \frac{P(s)}{D(s)} \quad (3.14b)$$

3.2 ขั้นตอนการออกแบบวงจรแบบออปแอมป์หนึ่งตัว

สร้างวงจรจาก Transfer voltage ratio ฟังก์ชัน สมการที่ (2.20) สามารถจัดรูปใหม่ได้เป็น

$$H(s) = H_1(s) \cdot H_2(s) \cdot H_3(s) \cdot H_4(s) \quad (3.15)$$

3.2.1 ตัวอย่างการออกแบบวงจร $H_1(s)$

$$H_1 = \frac{[s^2 + 5.5254s + 36.4608]}{[s^2 + 5.3714s + 36.597]} = \frac{P(s)}{Q(s)} \quad (3.16)$$

ให้ $D(s) = (s+5)(s+7)$ เมื่อ

$$\frac{P(s)}{D(s)} = Y_1 - Y_2, \quad \frac{Q(s)}{D(s)} = Y_6 - Y_5, \quad \frac{Q(s) - P(s)}{D(s)} = Y_3 - Y_4$$

หา Y_1, Y_2 จาก

$$\frac{P(s)}{SD(s)} = \frac{[s^2 + 5.5254s + 36.4608]}{s(s+5)(s+7)} \quad (3.17)$$

$$= \frac{A}{s} + \frac{B}{s+5} + \frac{C}{s+7} \quad (3.18)$$

หาค่า A, B, C

$$A = \frac{SP(s)}{SD(s)} \Big|_{s=0} = \frac{s(s^2 + 5.5254s + 36.4608)}{s(s+5)(s+7)} \Big|_{s=0} = 1.0417$$

$$B = \frac{(s+5)P(s)}{SD(s)} \Big|_{s=-5} = \frac{(s+5)(s^2 + 5.5254s + 36.4608)}{s(s+5)(s+7)} \Big|_{s=-5} = -3.3834$$

$$C = \frac{(s+7)P(s)}{SD(s)} \Big|_{s=-7} = \frac{(s+7)(s^2 + 5.5254s + 36.4608)}{s(s+5)(s+7)} \Big|_{s=-7} = 3.3416$$

นำค่า A, B, C ที่ได้ไปแทนลงในสมการ (4.18) จะได้

$$\frac{P(s)}{D(s)} = \frac{1.0417s}{s} - \frac{3.3834s}{s+5} + \frac{3.3416s}{s+7} = Y_1 - Y_2 \quad (3.19)$$

$$\therefore Y_1 = \frac{1.0417s}{s} + \frac{3.3416s}{s+7} \quad (3.20)$$

$$Y_1 = \frac{1}{0.96} + \frac{1}{0.2993 + \frac{1}{0.4774s}} \quad (3.21)$$

$$\therefore Y_2 = \frac{3.3834s}{s+5} \quad (3.22)$$

$$Y_2 = \frac{1}{0.2956 + \frac{1}{0.6767s}} \quad (3.23)$$

หา Y_5, Y_6 จาก

$$\frac{Q(s)}{SD(s)} = \frac{[s^2 + 5.3714s + 36.597]}{s(s+5)(s+7)} \quad (3.24)$$

$$= \frac{D}{s} + \frac{E}{s+5} + \frac{F}{s+7} \quad (3.25)$$

หาค่า D, E, F

$$D = \frac{SP(s)}{SD(s)} \Big|_{s=0} = \frac{S(s^2 + 5.3714s + 36.597)}{s(s+5)(s+7)} \Big|_{s=0} = 1.0456$$

$$E = \frac{(s+5)Q(s)}{SD(s)} \Big|_{s=-5} = \frac{(s+5)(s^2 + 5.3714s + 36.597)}{s(s+5)(s+7)} \Big|_{s=-5} = -3.4740$$

$$F = \frac{(s+7)Q(s)}{SD(s)} \Big|_{s=-7} = \frac{(s+7)(s^2 + 5.3714s + 36.597)}{s(s+5)(s+7)} \Big|_{s=-7} = 3.4284$$

นำค่า D, E, F ที่ได้ไปแทนลงในสมการ (3.25) จะได้

$$\frac{Q(s)}{D(s)} = \frac{1.0456s}{s} - \frac{3.474s}{s+5} + \frac{3.4284s}{s+7} = Y_6 - Y_5 \quad (3.26)$$

$$\therefore Y_6 = \frac{1.0456s}{s} + \frac{3.4284s}{s+7} \quad (3.27)$$

$$Y_6 = \frac{1}{0.9564} + \frac{1}{0.2917 + \frac{1}{0.4898s}} \quad (3.28)$$

$$\therefore Y_5 = \frac{3.474s}{s+5} \quad (3.29)$$

$$Y_5 = \frac{1}{0.2879 + \frac{1}{0.6948s}} \quad (3.30)$$

หา Y_3, Y_4 จาก

$$\frac{Q(s) - P(s)}{D(s)} = (Y_6 - Y_5) - (Y_1 - Y_2) \quad (3.31)$$

นำค่าจากสมการ (3.26) และ (3.19) มาแทนในสมการ (3.31) จะได้

$$\frac{Q(s) - P(s)}{D(s)} = \left[\frac{1.0456s}{s} - \frac{3.474s}{s+5} + \frac{3.4284s}{s+7} \right] - \left[\frac{1.0417}{s} - \frac{3.3834s}{s+5} + \frac{3.3416s}{s+7} \right] \quad (3.32)$$

$$\frac{Q(s) - P(s)}{D(s)} = \left[\frac{0.0039s}{s} - \frac{0.0906s}{s+5} + \frac{0.0868s}{s+7} \right] = Y_3 - Y_4 \quad (3.33)$$

$$\therefore Y_3 = \frac{0.0039s}{s} + \frac{0.0868s}{s+7} \quad (3.34)$$

$$Y_3 = \frac{1}{256.4103} + \frac{1}{11.5207 + \frac{1}{0.0124s}} \quad (3.35)$$

$$\therefore Y_4 = \frac{0.0906s}{s+5} \quad (3.36)$$

$$Y_4 = \frac{1}{11.037 + \frac{1}{0.0181s}} \quad (3.37)$$

ในทำนองเดียวกัน สำหรับ สมการ

$$H_2 = \frac{[s^2 + 6.9012s + 24.5674]}{[s^2 + 9.5166s + 25.6666]} = \frac{P(s)}{Q(s)}$$

$$H_3 = \frac{[s^2 + 33.8696s + 619.9923]}{[s^2 + 8.1402s + 28.9364]} = \frac{P(s)}{Q(s)}$$

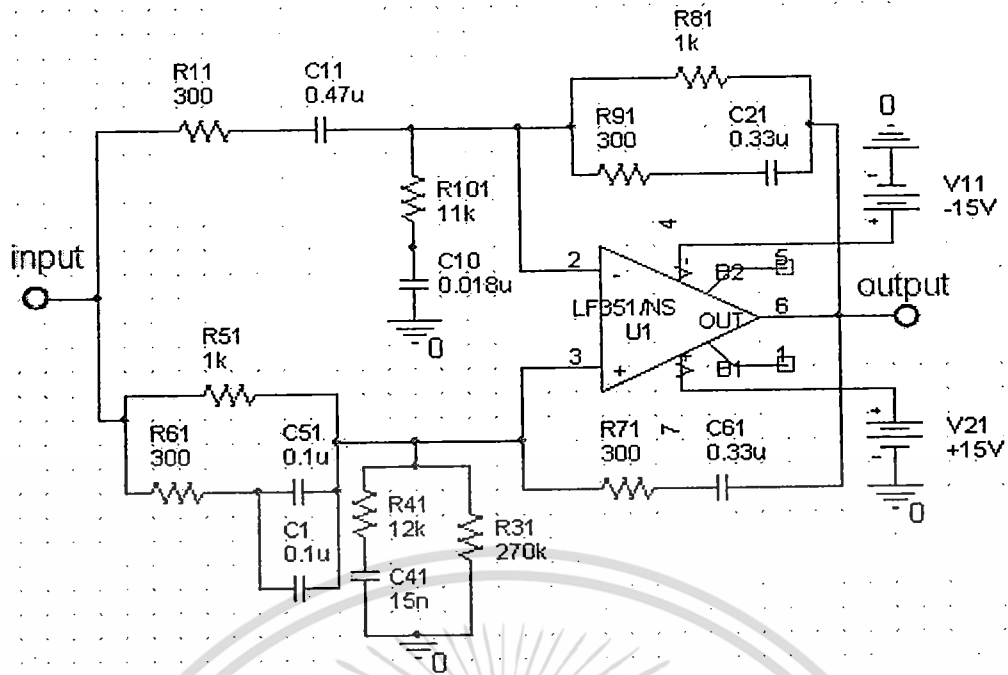
$$H_4 = \frac{s + 5.4058}{s + 4.9718} = \frac{P(s)}{Q(s)}$$

สามารถออกแบบได้ด้วยวิธีการเดียวกัน

3.3 จำลองการทำงานของวงจรแบบออปแอมป์หนึ่งตัวโดยใช้โปรแกรม PSpice

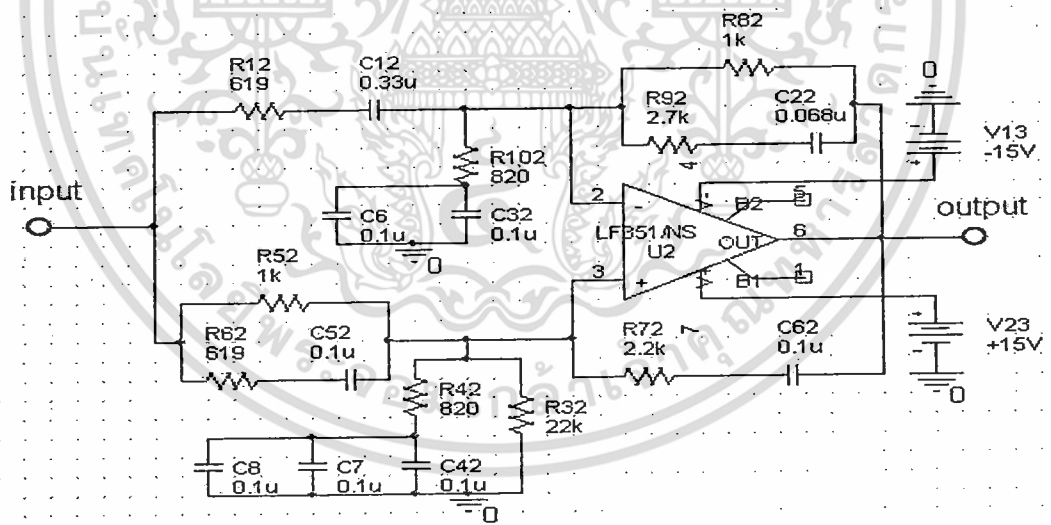
PSpice เป็นโปรแกรมที่มีความสามารถในการจำลองการทำงานของวงจรอิเล็กทรอนิกส์หรือการออกแบบการทำงาน พร้อมทั้งสามารถจำลองดูผลลัพธ์ของการตอบสนองทางขนาดและทางเฟส ก่อนที่จะนำวงจรดังกล่าวไปทำการสร้างเพื่อนำไปใช้งานจริง

นำค่า Y_1, Y_2, Y_3, Y_4, Y_5 และ Y_6 ที่หาได้จากสมการ H_1 มาแทนค่าตามโครงสร้างของวงจรรูปที่ 3.1 โดยใช้ออปแอมป์เบอร์ LF351 จะได้วงจร ดังรูปที่ 3.2



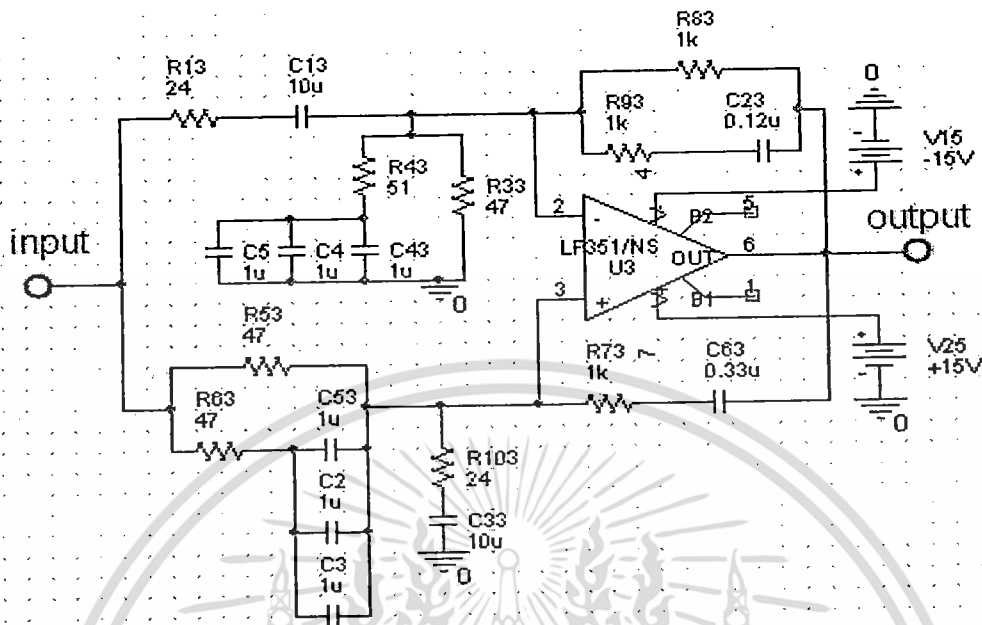
รูปที่ 3.2 วงจรสมการ $H_1(s)$

นำค่า Y_1, Y_2, Y_3, Y_4, Y_5 และ Y_6 ที่ได้จากสมการ H_2 มาแทนค่าตามโครงสร้างของวงจรรูปที่ 3.1 โดยใช้โอปแอมป์เบอร์ LF351 จะได้วงจร ดังรูปที่ 3.3



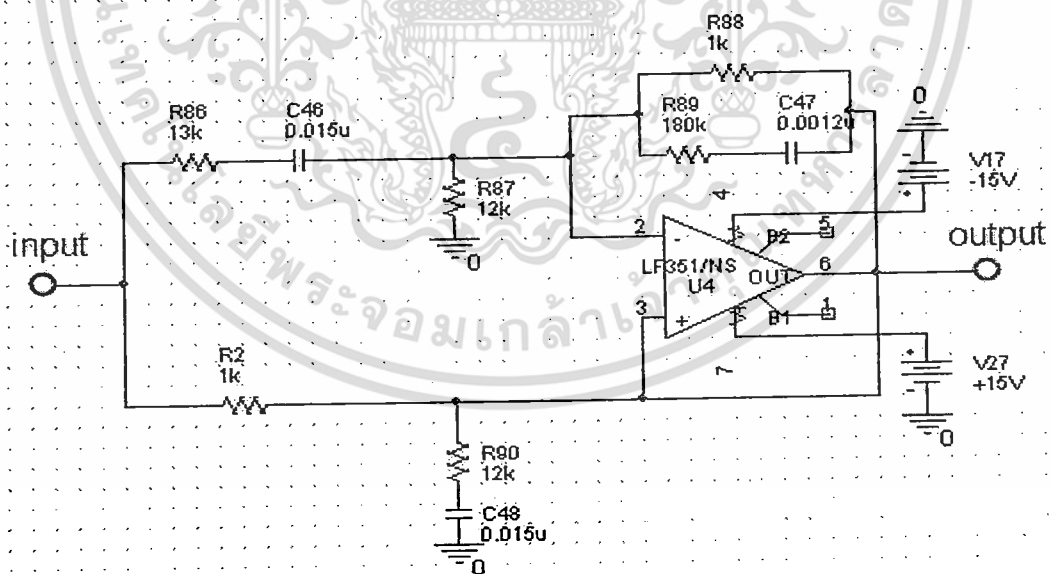
รูปที่ 3.3 วงจรสมการ $H_2(s)$

นำค่า Y_1, Y_2, Y_3, Y_4, Y_5 และ Y_6 ที่หาได้จากสมการ H_3 มาแทนค่าตามโครงสร้างของวงจร รูปที่ 3.1 โดยใช้โอปแอมป์เบอร์ LF351 จะได้วงจร ดังรูปที่ 3.4



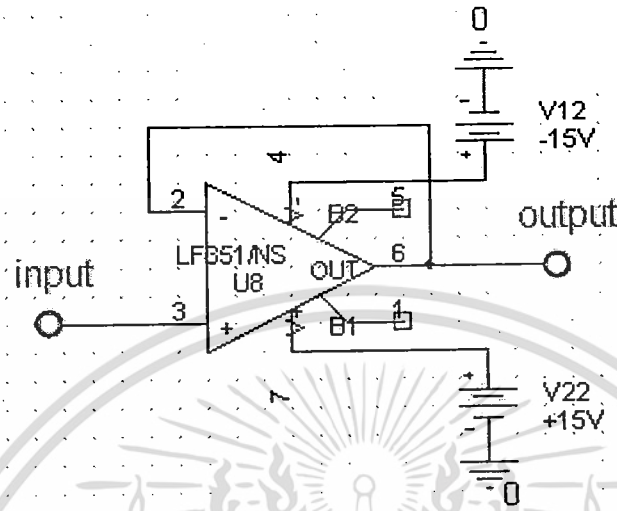
รูปที่ 3.4 วงจรสมการ $H_3(s)$

นำค่า Y_1, Y_2, Y_3, Y_4, Y_5 และ Y_6 ที่หาได้จากสมการ H_4 มาแทนค่าตามโครงสร้างของวงจร รูปที่ 3.1 โดยใช้โอปแอมป์เบอร์ LF351 จะได้วงจร ดังรูปที่ 3.5



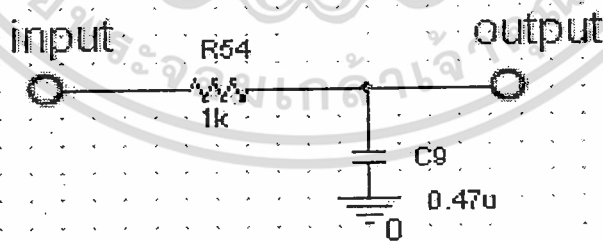
รูปที่ 3.5 วงจรสมการ $H_4(s)$

จากนั้นนำวงจรในรูปที่ 3.2, 3.3, 3.4 และ 3.5 มาต่อกัน โดยใช้อปแอมป์เบอร์ LF351 เป็นบัฟเฟอร์ตัวเชื่อมแต่ละวงจรจะได้วงจร ดังรูปที่ 3.6

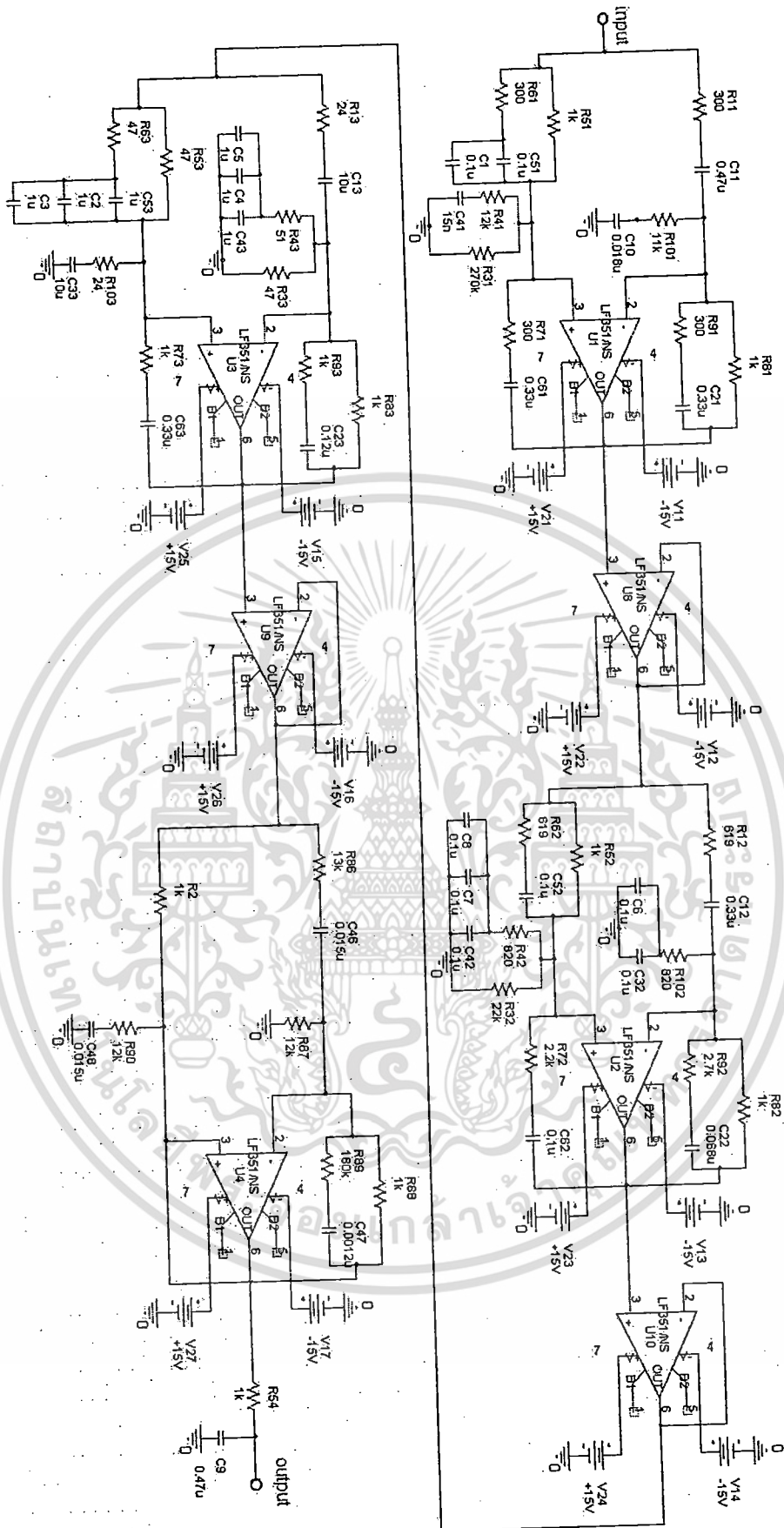


รูปที่ 3.6 วงจรบัฟเฟอร์

เนื่องจากสัญญาณเอาต์พุตที่ได้ยังมีสัญญาณความถี่สูงอยู่ ฉะนั้นจึงนำวงจรกรองความถี่ต่ำผ่านมาใช้ในการกรองความถี่สูงออกให้เหลือเฉพาะความถี่ต่ำที่ต้องการ ดังรูปที่ 4.7



รูปที่ 3.7 วงจรกรองความถี่ต่ำ

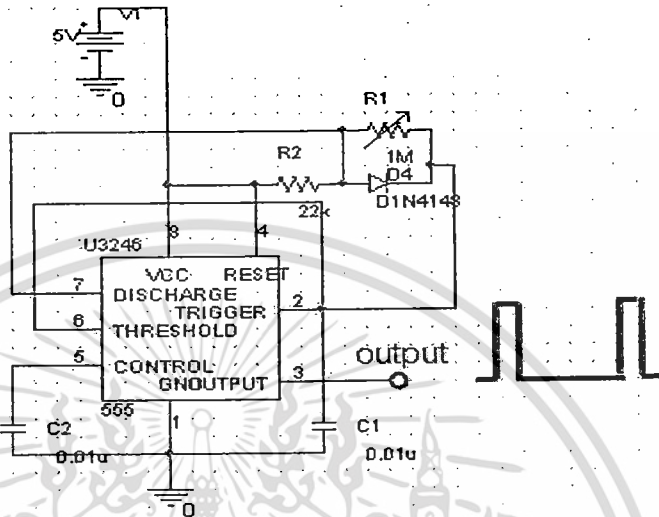


รูปที่ 3.8 วงจรรวมออปแอมป์หนึ่งตัวนำมากาสเตจกัน

เอกสารนี้เป็นเอกสารที่สงวนไว้สำหรับการใช้งานเพื่อการศึกษาเท่านั้น ไม่อนุญาตให้นำไปใช้ประโยชน์ด้านการค้า
ไม่ว่ากรณีใดๆทั้งสิ้น อีกทั้งห้ามมิให้ดัดแปลงเนื้อหา และต้องอ้างอิงถึงเจ้าของเอกสารทุกครั้งที่มีการนำไปใช้

3.4 จำลองการทำงานของวงจรสัญญาณอินพุต

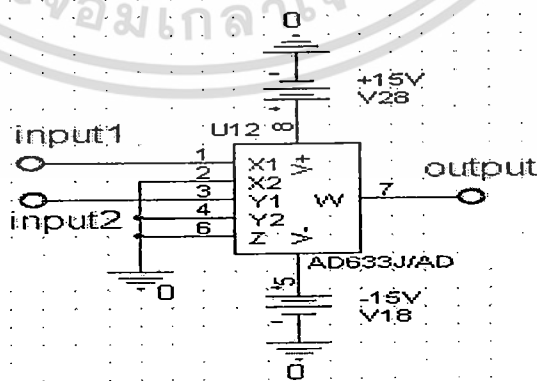
ทำการสร้างอินพุตซึ่งเป็นพัลส์สี่เหลี่ยมแคบๆ ดังรูปที่ 3.9



รูปที่ 3.9 วงจรสัญญาณอินพุต

3.5 จำลองการทำงานของวงจรมัลติพลายเออร์ (Multiplier)

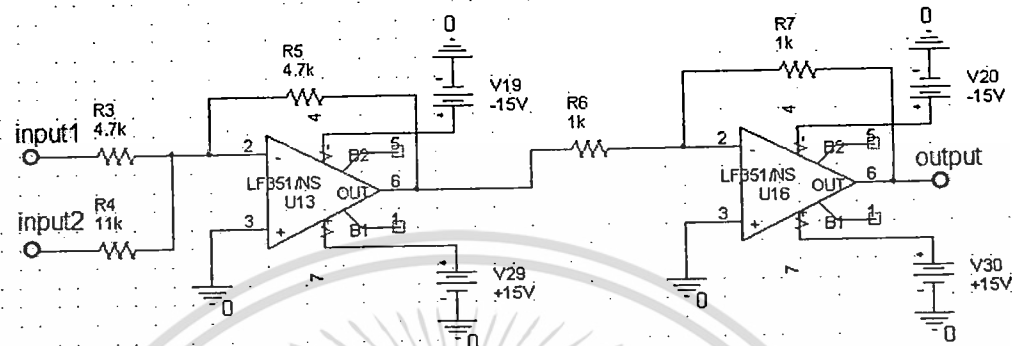
ส่วนนี้คือการนำสัญญาณซายน์กำลังสองพัลซ์จากวงจรดังรูปที่ 3.6 มาต่อเข้ากับ วงจรมัลติพลายเออร์ที่อินพุตขาหนึ่ง ส่วนอินพุตอีกขาหนึ่งคือสัญญาณพาหะ (carrier)



รูปที่ 3.10 วงจรมัลติพลายเออร์

3.6 จำลองการทำงานของวงจร Adder

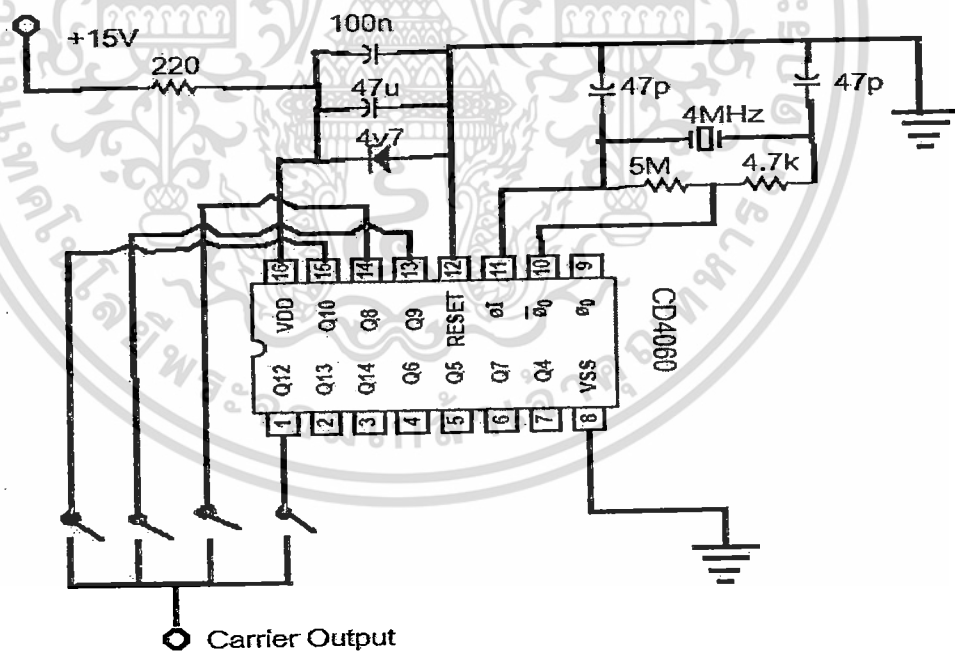
ส่วนนี้คือ การนำสัญญาณเอาต์พุตที่ได้จากวงจรดังรูปที่ 3.8 รวมกับสัญญาณชาน์กำลังสองพัลส์จากวงจรดังรูปที่ 3.6



รูปที่ 3.11 วงจรบวก(Adder)

3.7 จำลองการทำงานของวงจรสัญญาณพาหะ (Carrier)

ทำการสร้างสัญญาณพาหะ ดังรูปที่ 3.12



รูปที่ 3.12 วงจรสัญญาณพาหะ (Carrier)

บทที่ 4

ผลการทดลอง

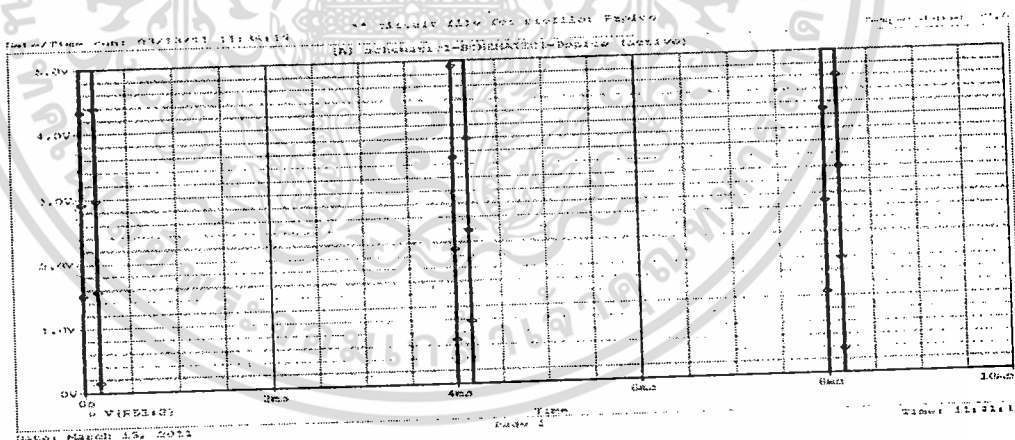
4.1 บทนำ

เมื่อได้รูปแบบวงจรต้นแบบที่ใช้ในการวัดความผิดเพี้ยนทางขนาดและเฟสแล้ว ขั้นตอนต่อมาคือการนำเอาวงจรไปทดลองสร้างจริง โดยเปรียบเทียบการจำลองผลของวงจรบนโปรแกรม PSpice กับผลตอบสนองจากวงจรจริงที่ทำการต่อกับเครื่องออสซิลอโคป ในงานวิจัยนี้ จะแสดงผลสัญญาณอินพุตที่ป้อนให้แก่ระบบ สัญญาณเอาต์พุต สัญญาณเอาต์พุตคูณกับสัญญาณพาหะ โดยจะแสดงในรูปของกราฟ

4.2 สัญญาณอินพุต

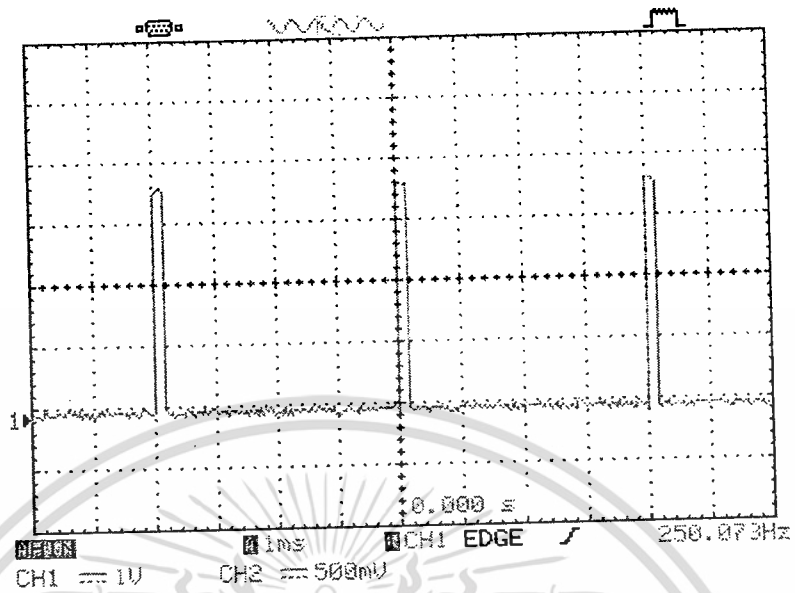
สัญญาณอินพุตที่ใช้ป้อนเป็นสัญญาณอิมพัลส์

4.2.1 สัญญาณอินพุตจากการจำลองผลบนโปรแกรม PSpice



รูปที่ 4.1 สัญญาณอินพุตบนโปรแกรม PSpice

4.2 สัญญาณอินพุตที่วัดได้จากวงจรจริง

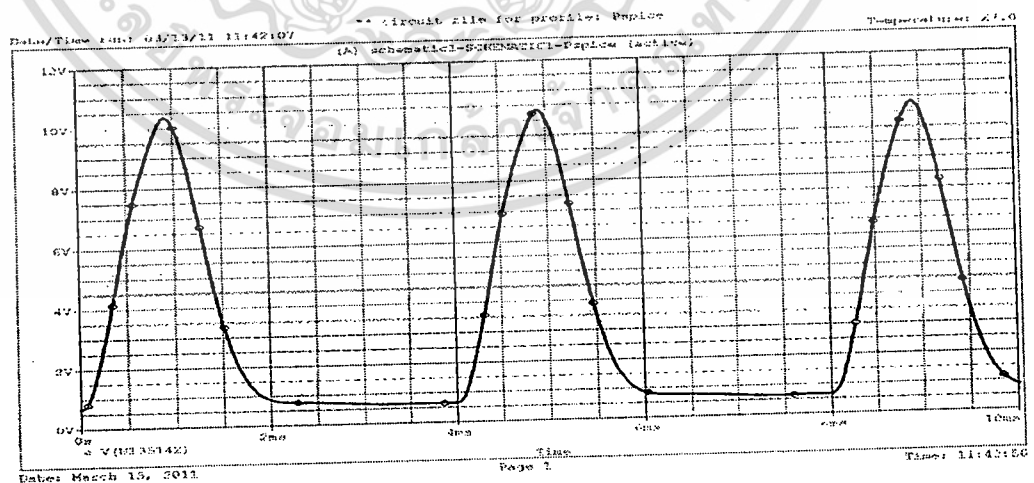


รูปที่ 4.2 สัญญาณอินพุตวัด โดยเครื่องออสซิโลสโคป

4.3 สัญญาณเอาต์พุต

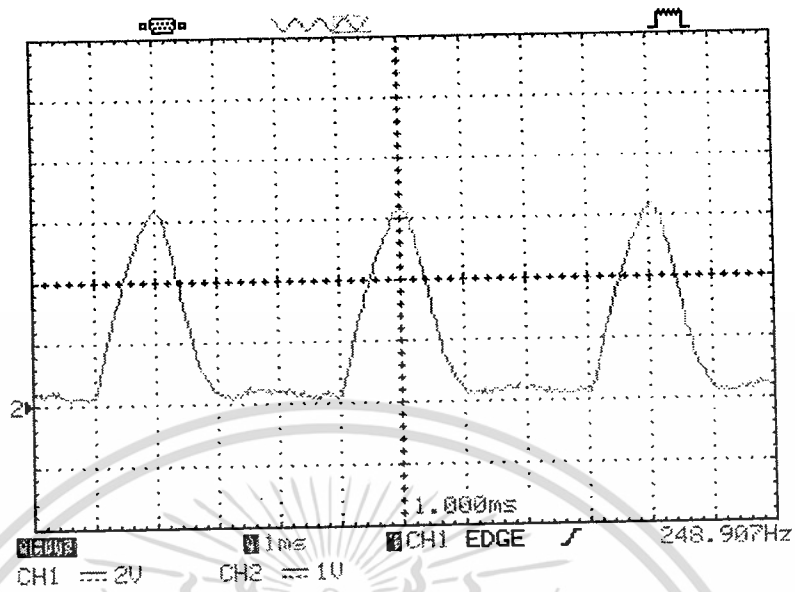
สัญญาณเอาต์พุตหรือผลตอบสนองของระบบจะได้เป็นสัญญาณชานน์ เนื่องจากสมการต้นแบบที่ใช้ในการสร้างวงจรคือสัญญาณชานน์กำลังสองพัลส์

4.3.1 สัญญาณเอาต์พุตจากการจำลองผลบนโปรแกรม PSpice



รูปที่ 4.3 สัญญาณเอาต์พุตบนโปรแกรม PSpice

4.3.2 สัญญาณเอาต์พุตจากเครื่องออสซิลโลสโคป

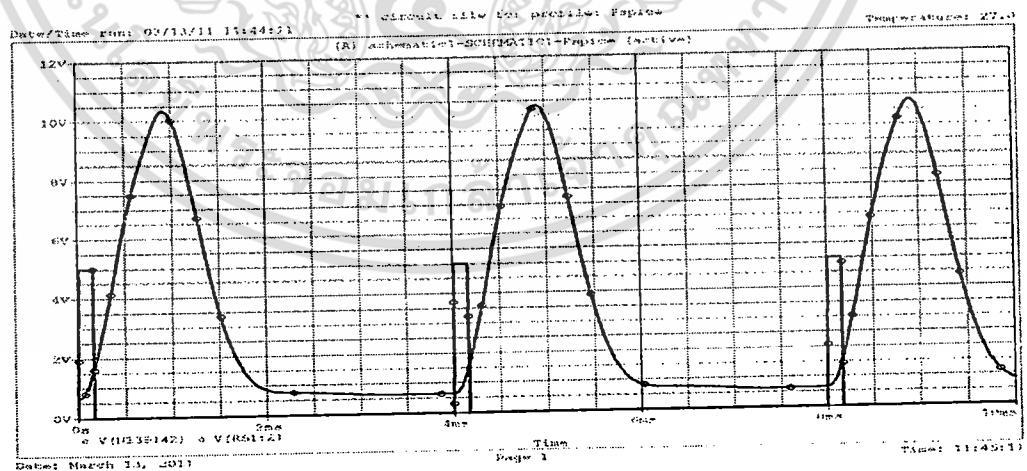


รูปที่ 4.4 สัญญาณเอาต์พุตจากเครื่องออสซิลโลสโคป

4.4 สัญญาณอินพุตเมื่อเปรียบเทียบกับสัญญาณเอาต์พุต

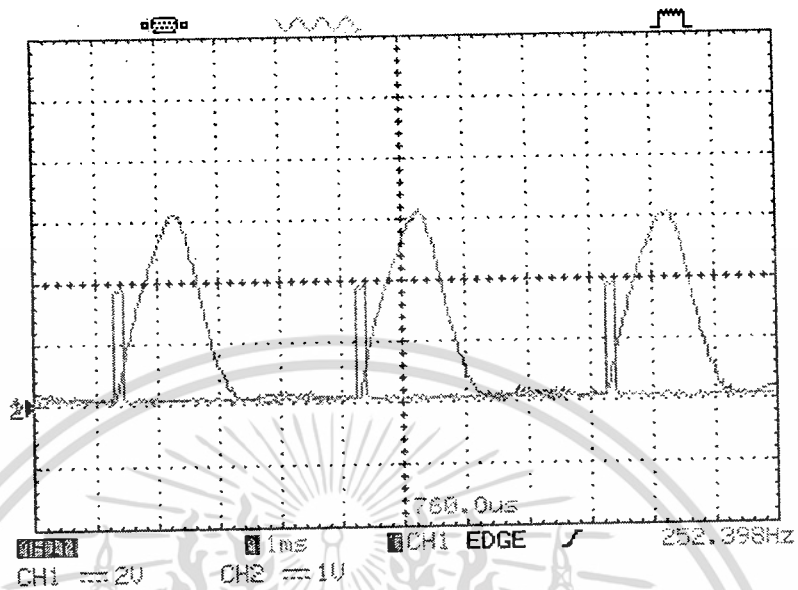
4.4.1 สัญญาณอินพุตเมื่อเปรียบเทียบกับสัญญาณเอาต์พุตจำลองผลโดยโปรแกรม

PSpice



รูปที่ 4.5 สัญญาณอินพุตเปรียบเทียบกับสัญญาณเอาต์พุตโปรแกรม PSpice

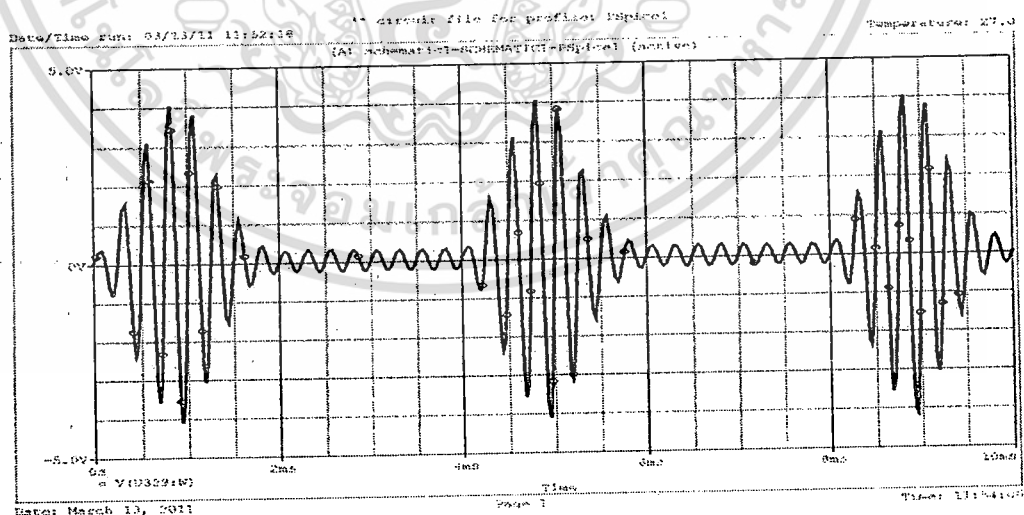
4.4.2 สัญญาณอินพุตวัดเปรียบเทียบกับสัญญาณเอาต์พุตจากวงจรจริง



รูปที่ 4.6 สัญญาณอินพุตเปรียบเทียบกับสัญญาณเอาต์พุตจากเครื่องออสซิลโลสโคป

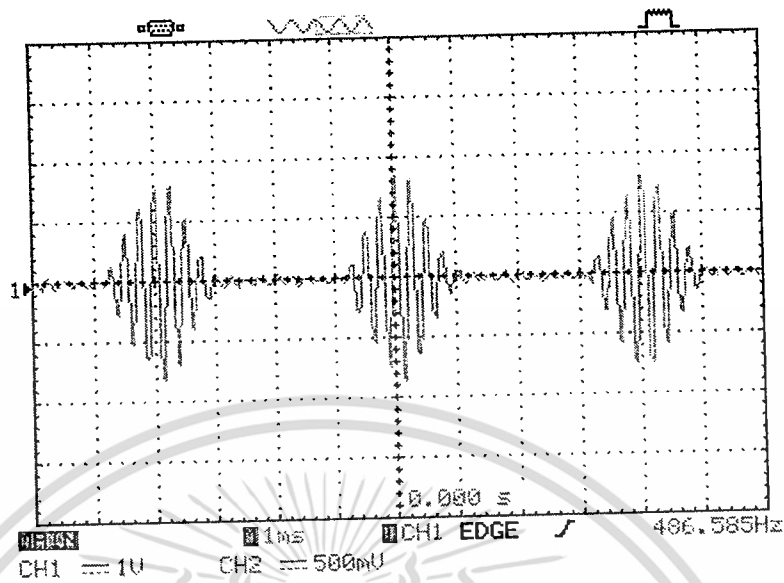
4.5 สัญญาณเอาต์พุตคุณกับสัญญาณพาหะ

4.5.1 สัญญาณเอาต์พุตคุณกับสัญญาณพาหะจำลองผลบนโปรแกรม PSpice



รูปที่ 4.7 สัญญาณเอาต์พุตเมื่อคุณกับสัญญาณพาหะบน โปรแกรม PSpice

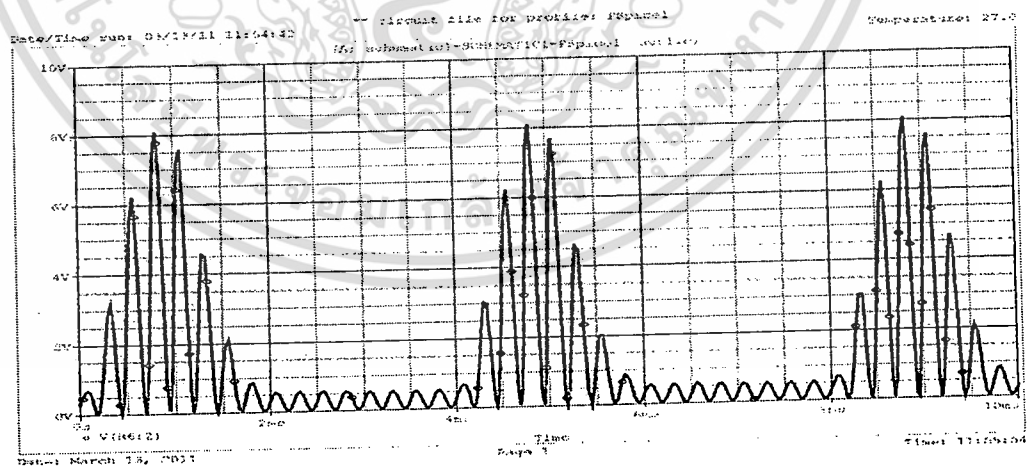
4.5.2 สัญญาณเอาต์พุตคูณกับสัญญาณพาหะ จากการวัดจากวงจรจริง



รูปที่ 4.8 สัญญาณเอาต์พุตเมื่อคูณกับสัญญาณพาหะจากเครื่องออสซิโลสโคป

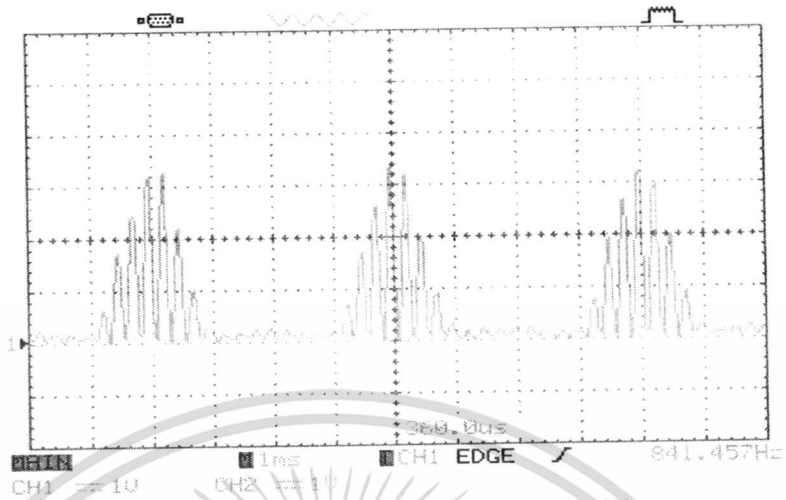
4.6 สัญญาณเอาต์พุตที่ได้จากการคูณสัญญาณบวกกับสัญญาณซายน์กำลังสองพัลซ์

4.6.1 สัญญาณเอาต์พุตที่ได้จากการคูณสัญญาณพาหะเป็นบวกกับสัญญาณซายน์กำลังสองพัลซ์ จำลองผลบนโปรแกรม PSpice

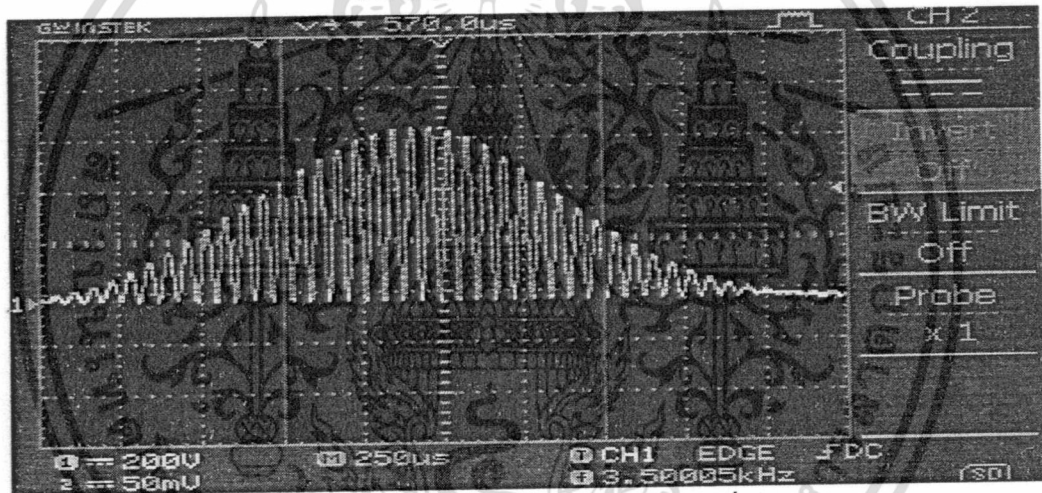


รูปที่ 4.9 สัญญาณเอาต์พุตที่ได้จากการคูณสัญญาณพาหะเป็นบวกกับสัญญาณซายน์กำลังสองพัลซ์ บนโปรแกรม PSpice

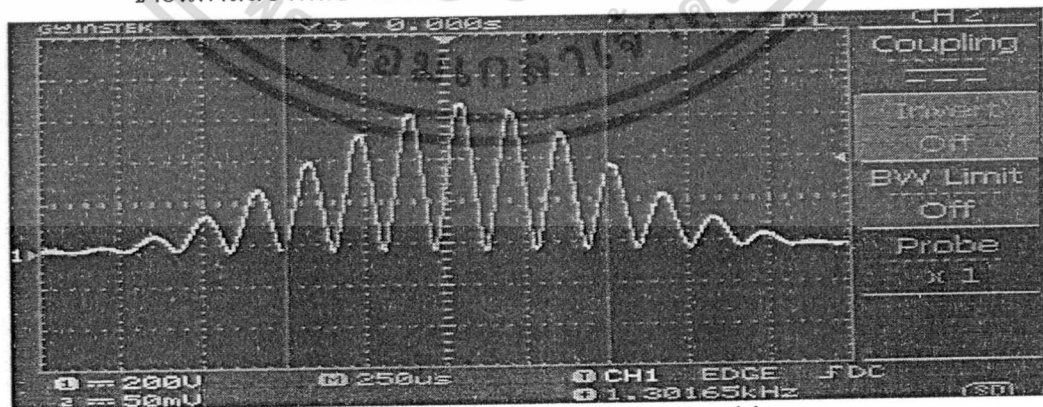
4.6.2 สัญญาณเอาต์พุตที่ได้จากการคูณสัญญาณพาห้เป็นบวกกับสัญญาณไซน์กำลังสองพัลซ์ วัดจาก วงจรจริง



รูปที่ 4.10 สัญญาณเอาต์พุตที่ได้จากการคูณสัญญาณพาห้เป็นบวกกับสัญญาณไซน์กำลังสองพัลซ์ วัดจากวงจรจริง



รูปที่ 4.11 สัญญาณเอาต์พุตที่ได้จากการคูณสัญญาณพาห้ความถี่สูงเป็นบวกกับสัญญาณไซน์กำลังสองพัลซ์ วัดจากวงจรจริง



รูปที่ 4.11 สัญญาณเอาต์พุตที่ได้จากการคูณสัญญาณพาห้ความถี่ต่ำเป็นบวกกับสัญญาณไซน์กำลังสองพัลซ์ วัดจากวงจรจริง

4.7 การทดสอบการวัดความผิดเพี้ยนในระบบการส่งสัญญาณเสียง

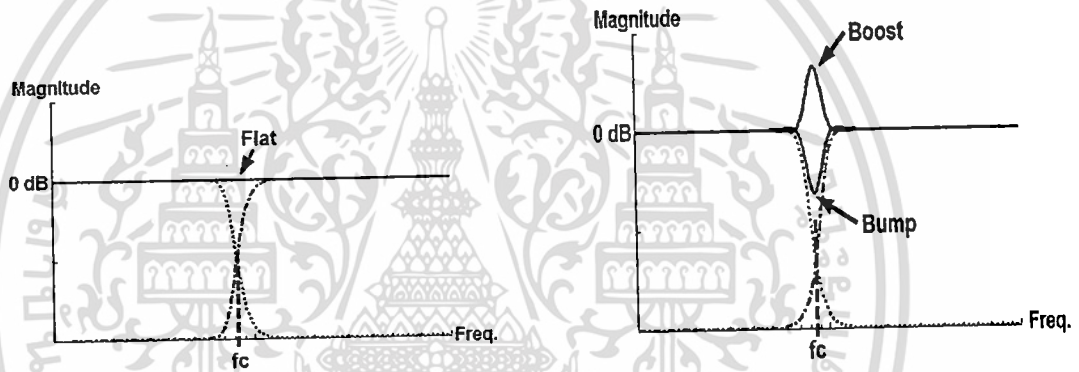
ในระบบ Loud Speaker ที่ดี จุดตัดข้าม (Crossover) ระหว่างความถี่กลางและความถี่สูงจะต้องมีคุณสมบัติตามอุดมคติ 2 ข้อ คือ

1) ผลรวมทางขนาด (Magnitude Response)

$$\begin{aligned} |H_{\Sigma}(\omega)| &= |H_{LP}(\omega)| + |H_{HP}(\omega)| \\ &= 1 \quad (0 \text{ dB}) \end{aligned}$$

2) ผลรวมทางเฟส (Phase Response)

$$\varphi_{\Sigma}(\omega) = 0$$

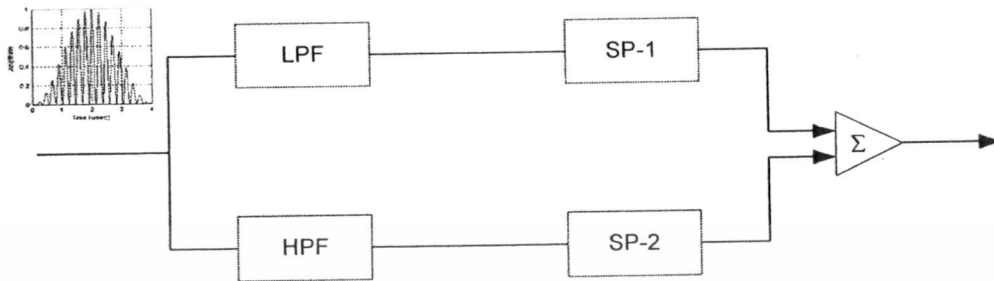


รูป 4.13 ก. ความถี่จุดตัดข้าม (Crossover frequency) ที่ดี รูป ข. การผิดเพี้ยนของความถี่จุดตัดข้าม

รูป 4.13 ก. แสดงความถี่จุดตัดข้าม (Crossover frequency, f_c) ของระบบเสียงที่ดี และรูป 4.12 ข. แสดงการผิดเพี้ยนของระบบ กรณีที่การ Crossover ไม่เป็นไปตามกฎทั้ง 2 ข้อดังกล่าวข้างต้น จะเกิดผลของสัญญาณทดสอบดังรูป ข ซึ่งจากรูป ก. และ ข. นี้จะเห็นได้ว่า ถ้ามีการผิดเพี้ยนทางขนาดหรือผิดเพี้ยนทางเฟส สามารถสังเกตเห็นได้ง่ายจากการใช้ออสซิลโลสโคป (Oscilloscope) วัดผลตอบสนองทางขนาดและเฟส โดยพิจารณาจากฐาน (baseline) ของสัญญาณทดสอบโดยการวัดขนาดสูงสุดของฐาน (baseline peak) เทียบกับ Peak level จะทำให้รู้ถึงขนาดและศิลปะที่ผิดเพี้ยนได้

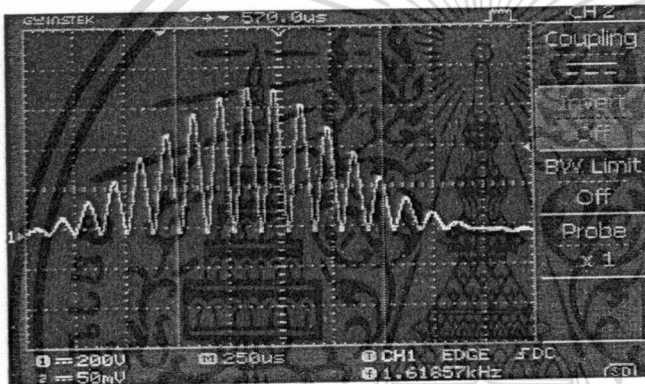
4.7.1 การทดสอบ วัด จุดตัดข้าม (Crossover) ของวงจร cross over network แสดงดัง
ไดอะแกรม

ในรูป 4.13

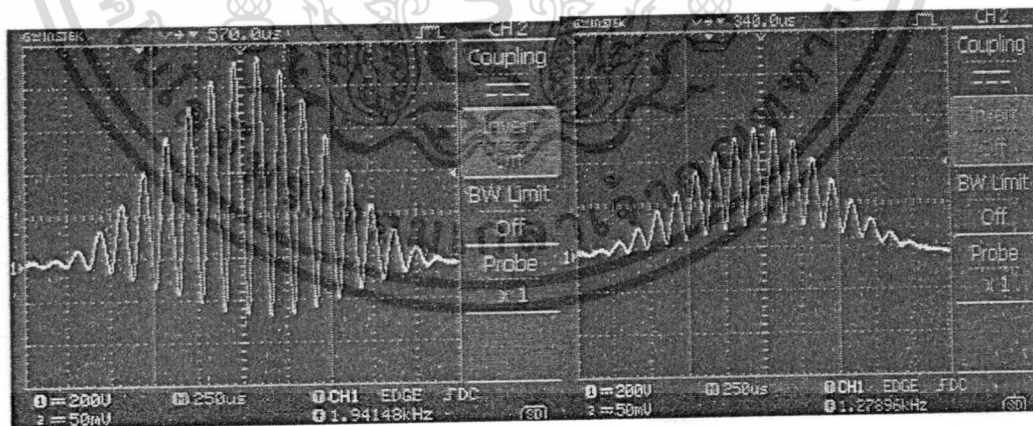


รูปที่ 4.14

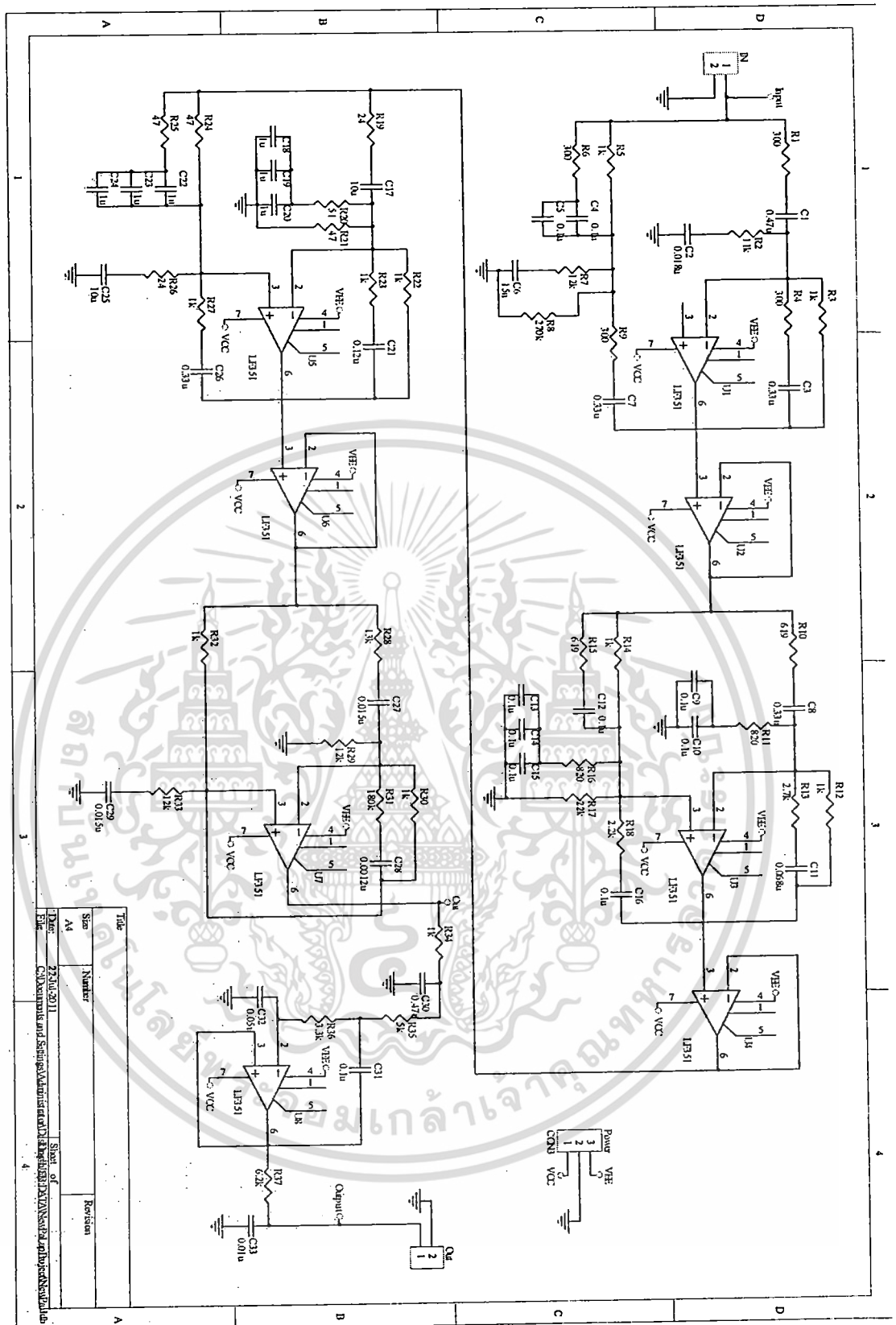
4.7.2 ผลการวัดจากวงจรจริงแสดงในรูปที่ 4.15



รูปที่ 4.15 a. ผลการวัด สัญญาณ กรณี วงจรจุดตัดข้าม crossกันพอดี สัญญาณไม่ผิดเพี้ยน



รูปที่ 4.15 b. ผลการวัด สัญญาณ กรณีเกิด boost signal และbump signal



File	Number	Revision
A4		

Date: 27 Jul 2011
 Drawn by: C3/Department and Semiconductors/มหาวิทยาลัยเทคโนโลยีพระจอมเกล้าธนบุรี
 Sheet of: 1

รูปที่ 4.16 วงจรรวม

เอกสารนี้เป็นเอกสารที่สงวนไว้สำหรับการใช้งานเพื่อการศึกษาเท่านั้น ไม่อนุญาตให้นำไปใช้ประโยชน์ด้านการค้า ไม่ว่ากรณีใดๆทั้งสิ้น อีกทั้งห้ามมิให้ดัดแปลงเนื้อหา และต้องอ้างอิงถึงเจ้าของเอกสารทุกครั้งที่มีการนำไปใช้

บทที่ 5

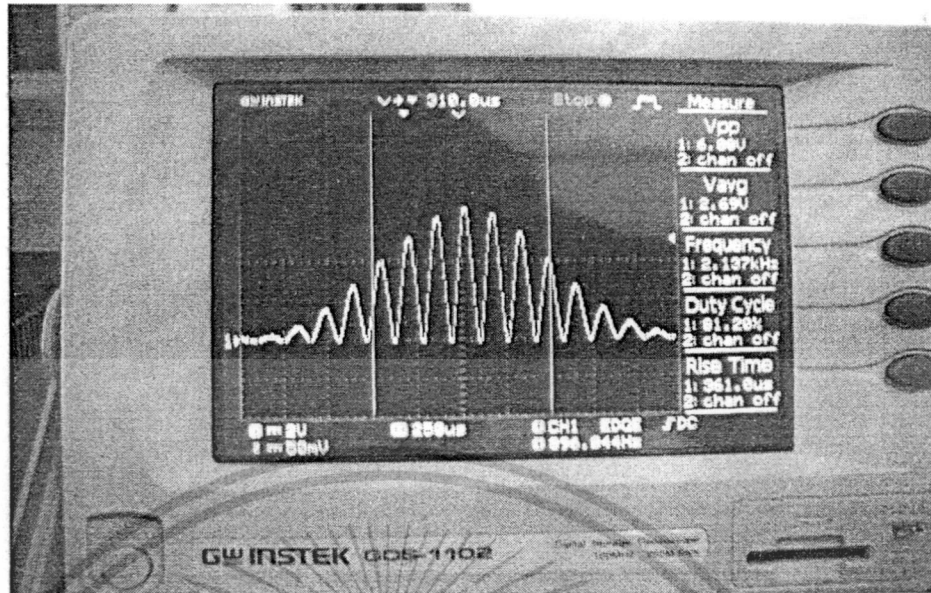
สรุปผล

5.1 ผลที่ได้จากการทดลอง

จากการทดลองวิธีต่างๆที่ใช้ในการหาสมการทางคณิตศาสตร์เพื่อประมาณสัญญาณชานน์กำลังสองพัลส์ พบว่าการใช้วิธีการประมาณสัญญาณชานน์กำลังสองพัลส์ในขอบข่ายของเวลาจะทำได้ง่ายกว่าการประมาณในขอบข่ายของความถี่ ในโครงการนี้ได้ใช้ทฤษฎีของเบสเซลโพลีโนเมียลเข้ามาช่วยในการประมาณสัญญาณชานน์กำลังสองพัลส์ในเทอมส่วน เพราะสมการของเบสเซลโพลีโนเมียลจะมีรากอยู่ทางด้านลบ โดยระบบที่จะเสถียรได้นั้นต้องมีรากอยู่ทางด้านลบ ส่วนสัมประสิทธิ์ของเทอมเศษ ใช้วิธีกำลังสองน้อยที่สุดในการหาค่าที่เหมาะสม

ในส่วนของ การวิเคราะห์และออกแบบหาสมการต้นแบบเพื่อนำมาสร้างวงจรของสัญญาณชานน์กำลังสองพัลส์ พบว่าเมื่อใช้สมการที่มีจำนวนสมการลำดับที่เพิ่มมากขึ้นจะได้สัญญาณชานน์กำลังสองพัลส์ที่ใกล้เคียงกับสัญญาณชานน์ในอุดมคติมากขึ้น แต่เนื่องจากสมการที่มีลำดับที่มากขึ้น การสร้างวงจรจะยุ่งยากและอุปกรณ์มีราคาแพงมากขึ้น ดังนั้นงานวิจัยฉบับนี้จึงเลือกใช้สมการลำดับที่เจ็ด เพราะสมการลำดับที่เจ็ด จะให้สัญญาณที่ใกล้เคียงกับสัญญาณในอุดมคติเป็นที่ยอมรับได้ วงจรไม่ยุ่งยากจนเกินไป จึงได้นำสมการลำดับที่เจ็ดมาใช้ในการสร้างและออกแบบวงจรต่อไป

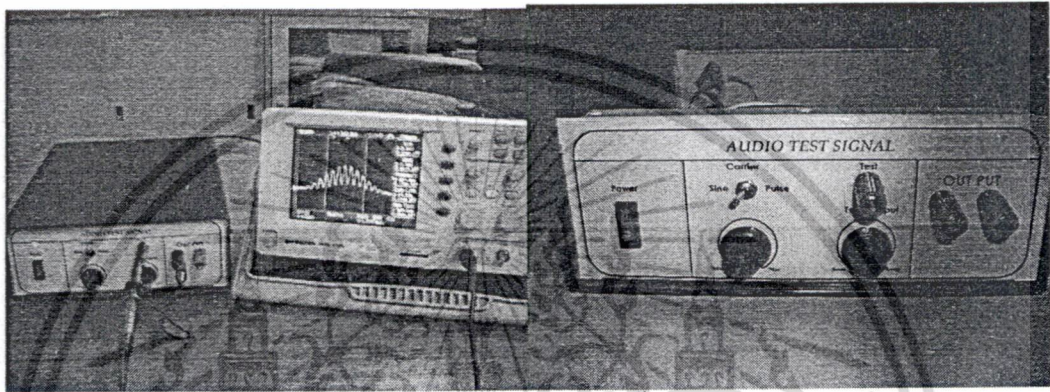
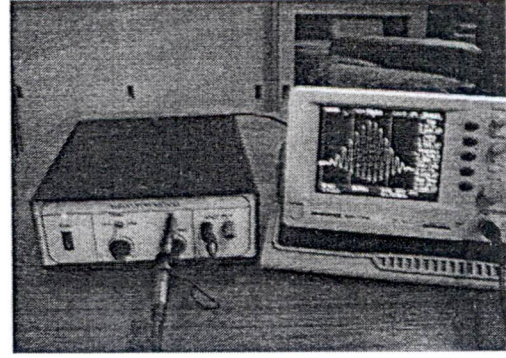
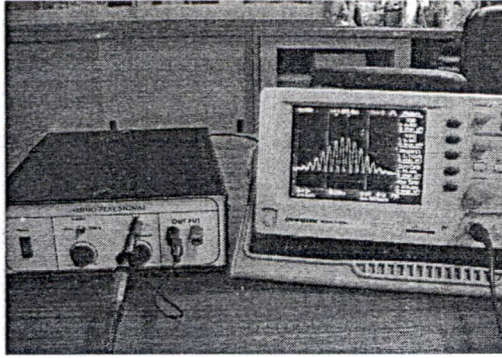
การออกแบบวงจรนั้นได้มีการออกแบบและจำลองผลบนโปรแกรม PSpice ก่อนในขั้นต้น เพื่อสังเกตผลตอบสนองของระบบ เมื่อผลตอบสนองของระบบเป็นที่น่าพอใจ จึงทำการสร้างวงจรจริง จากผลการทดลองเปรียบเทียบพบว่า ผลตอบสนองของวงจรที่สร้างจริง และผลตอบสนองด้วยโปรแกรม PSpice สอดคล้องกับผลตอบสนองของชานน์กำลังสองพัลส์ในอุดมคติ โดยให้ค่าความผิดพลาดน้อยที่สุด



รูปที่ 5.1 สัญญาณทดสอบที่จะนำไปใช้งานต่อไป



รูปที่ 5.2 อุปกรณ์กำเนิดสัญญาณทดสอบที่สร้างขึ้น



รูปที่ 5.3 ชุดอุปกรณ์การวัดความผิดเพี้ยนของสัญญาณเสียง

5.2 แนวทางในการพัฒนาต่อไป

1. การสร้างสมการที่มีจำนวนลำดับที่เพิ่มมากขึ้นจะให้ผลตอบสนองที่ดีขึ้น แต่จะทำให้วงจรมีขนาดใหญ่
2. เนื่องจากงานวิจัยฉบับนี้ได้ออกแบบและสร้างอุปกรณ์แบบอนาล็อกเท่านั้น ฉะนั้นการพัฒนาจึงควรมีการออกแบบและสร้างอุปกรณ์ในแบบดิจิทัลต่อไป โดยอุปกรณ์จะมีขนาดเล็กลงด้วย

บรรณานุกรม

- [1] L. Kendall , “Analog filters”,2 nd ed. United States of America : Prentice-Hall, 2002.
- [2] L. Kendall , “Time-domain synthesis of linear networks”,United States of America Prentice-Hall, 1971.
- [3] S. McKeever and M.Foote, “The Random House science encyclopedia”, Toronto:Random House, 1993.
- [4] W.E. Thomson, “The Synthesis Of A Network To Have A Sine-Suared Impulse Response”,23 June 1952
- [5] M.A. Masnadi-Shirazi and M. Ghasemi, “Laguerre Digital Filter Design”,May 1995
- [6] A. Venkataraman and A.V. Oppenheim,“Signal Approximation Using The Bilinear Transform”,April 2008
- [7] K. Steiglits, “Rational Transform Approximation via the Laguerre Spectrum”,1965
- [8] กนก เจนจิระพงศ์เวช. การตรวจสอบสัญญาณวีดีโอ.
- [9] ดำรง ทิพย์โยธา. คู่มือโปรแกรมสำเร็จรูป Mathcad Mathematica Matlab Maple. กรุงเทพฯ : โรงพิมพ์แห่งจุฬาลงกรณ์มหาวิทยาลัย